

Mémoire de master

Pour l'obtention du diplôme de Master en Informatique
Option : Systèmes Informatiques

Thème

Clustering avec des données manquantes dans le contexte de chiffrement homomorphe

Encadré Par :

Réalisé Par :

— AZIZ Rezak

- BOUZEFRANE Samia
- AUDIGIER Vincent
- BOUZAR Lydia

Résumé

Avec le flagrant développement que connaît le monde numérique actuellement, d'énormes quantités de données sont générées chaque jour. Ce taux de données ne cesse d'augmenter avec l'apparition de l'internet des objets. Ces données nécessitent souvent des traitements qui mènent à l'application des algorithmes d'apprentissage automatique tel que le clustering. Ce dernier est une catégorie d'algorithmes non supervisés qui essaie de grouper les données dans des clusters en se basant sur les similarités au sein des données.

Hélas, ces objets connectés ne possèdent ni les ressources de stockage ni les ressources de calculs pour effectuer un tel traitement sur les données. Avec l'apparition de "Cloud Computing", Des ressources de stockage et de calculs interminables s'offrent aux utilisateurs. Externaliser les données pour effectuer un clustering devient une pratique courante dans le monde. Cependant, les données collectées sont sensibles et sont traitées en clair dans le cloud. Les voix défendant le droit à la vie privée se sont vite levées, ce qui a freiné l'épanouissement de certains domaines. Pour éviter cette situation, une solution est d'utiliser le chiffrement homomorphe. Ce type de chiffrement permet d'effectuer des calculs sur des données chiffrées tout en préservant à la fois la confidentialité et l'efficacité des opérations.

Cependant, l'utilisation des algorithmes de clustering standard n'est pas possible dans un domaine chiffré. En effet, la multiplication et l'addition sont les seuls types d'opérations possibles dans le chiffrement homomorphe. Cela nous mit devant l'évidence qu'il faut adapter les algorithmes de clustering pour un domaine chiffré. Pour cela, plusieurs travaux se sont intéressés à ces algorithmes dans le domaine chiffré. Cependant, ces travaux ne tiennent pas en compte le problème de données manquantes qui est un problème omniprésent dans la réalité. Bien que des solutions ont été proposées en clair pour ce problème, il n'existe pas de solutions dans un domaine chiffré qui s'est intéressé à ce problème.

Dans ce mémoire, nous allons passer en revue les solutions proposées pour le clustering avec les données manquantes et les solutions proposées dans le cadre de chiffrement homomorphe. Une étude de l'état de l'art des deux problématiques peut ouvrir des perspectives pour étudier le clustering en jumelant les deux domaines à la fois.

Mots clés :

Clustering, données manquantes, Chiffrement homomorphe, Cloud, Vie privée

Abstract

With the current growth of digital world, huge amounts of data are being generated every day. This data rate is continuously increasing with the advent of the Internet of Things. These generated data often require complex processing, which leads us to use machine learning techniques such as clustering. Clustering is a category of unsupervised algorithms that attempt to group data into clusters by finding similarities within the data.

Unfortunately, these connected things have neither the storage resources nor the calculation resources to perform such processing on the data. With the advent of Cloud Computing, endless storage and computation resources are available to users. Outsourcing data for clustering is becoming a common practice around the world. However, the data collected is sensitive and is processed in the clear in the cloud. Privacy concerns appeared and stopped the growth of certain areas. To avoid this situation, one solution is to use homomorphic encryption. This type of encryption allows calculations to be performed over encrypted data while preserving both confidentiality and the efficiency of operations.

However, using standard clustering algorithms is not possible in an encrypted domain. In fact, Multiplication and addition are the only operations possible in homomorphic encryption. So to use these clustering algorithms, we must adapt them for an encrypted domain. Several works have focused on this adaptation, however, they didn't consider these algorithms in the real context with missing values. In reality, missing data is a consistent problem. Although this problem has been studied in a free-to-air domain, there are no workarounds in an encrypted domain that addresses this problem.

In this thesis, we will review the solutions proposed for clustering with missing data and the solutions proposed in the homomorphic encryption framework. A study of the state of the art of the two issues can open up perspectives for studying clustering by pairing it with two domains at the same time.

Keywords :

Clustering, missing data, imputation, homomorphic encryption, Cloud, privacy

Table des matières

Résumé	i
Abstract	ii
Table des figures	v
Liste des tableaux	vi
Introduction Générale	1
1 Apprentissage automatique et vie privée	3
1.1 Introduction	3
1.2 Généralités sur l'apprentissage automatique	3
1.2.1 Définition	4
1.2.2 Stratégies d'apprentissage	4
1.2.3 Métriques d'évaluations dans la classification	6
1.3 Généralités sur la vie privée	7
1.3.1 Définitions	7
1.3.2 La cryptographie au service de la vie privée	8
1.4 Généralités sur l'apprentissage automatique préservant la vie privée	10
1.4.1 Qu'est ce que la confidentialité dans l'apprentissage automatique	10
1.4.2 Menaces liées à l'apprentissage automatique	11
1.4.3 Conception et évaluation des techniques	12
1.4.4 Pour un apprentissage parfaitement privée	14
1.5 Conclusion	16
2 Clustering et données manquantes	17
2.1 Introduction	17
2.2 Généralités sur le clustering	17
2.2.1 Qu'est-ce que le clustering	17
2.2.2 Exemples d'application	18
2.2.3 Vocabulaire et notation	19

2.2.4	Approches de clustering	20
2.2.5	Evaluation	27
2.3	La problématique des données manquantes	28
2.3.1	Définition	28
2.3.2	Forme d'absence de données	28
2.3.3	Méthodes pour la gestion des valeurs manquantes	29
2.4	Clustering avec données manquantes	31
2.4.1	Imputation et analyse séparées	31
2.4.2	Imputation et analyse regroupées	32
2.5	Analyse des travaux existants	33
2.6	Conclusion	34
3	Chiffrement homomorphe et clustering	35
3.1	Introduction	35
3.2	Chiffrement homomorphe	35
3.2.1	Définition	36
3.2.2	Schéma de chiffrement homomorphe	36
3.2.3	Types de chiffrement homomorphe	36
3.2.4	Chiffrement complètement homomorphe	40
3.2.5	Implémentations de chiffrement complètement homomorphe	43
3.2.6	Applications	45
3.3	Algorithmes d'apprentissage automatique et chiffrement homomorphe	46
3.4	Clustering en utilisant le chiffrement homomorphe	48
3.4.1	Challenges	48
3.4.2	Travaux existants	50
3.5	Analyse des travaux existants	53
3.6	Conclusion	54
Conclusion Générale		55

Table des figures

1.1	Exemple de classification	5
1.2	Exemple de régression	5
1.3	Taxonomie des attaques sur l'apprentissage automatique	11
1.4	Classification Entraînement [Boulemtafes et al., 2020]	15
1.5	Classification Inférence [Boulemtafes et al., 2020]	15
2.1	Clustering par partitionnement	18
2.2	Processus de clustering	20
2.3	Exécution de l'algorithme k-means	22
2.4	Clustering par approche basée sur la densité	23
2.5	Clustering par approche hiérarchique	23
2.6	Clustering par approche basée grille	24
2.7	Comparaison entre les différentes approches de clustering	25
3.1	Classifications des types de chiffrement homomorphe	37
3.2	Principe de bootstrapping	42
3.3	Principe de bootstrapping programmable	43
3.4	Chiffrement homomorphe dans le contexte de l'apprentissage automatique	46

Liste des tableaux

1.1	Matrice de confusion	6
1.2	Techniques utilisés dans l'entraînement préservant la confidentialité	15
1.3	Techniques utilisés dans l'inférence préservant la confidentialité	16
3.1	Avantages et inconvénients des librairies FHE	44
3.2	Résultat des travaux sur le clustering collaboratif	51
3.3	Résultat des travaux sur le clustering individuel	53

Introduction Générale

Avec le développement rapide des technologies de l'information, des nouveaux concepts voient le jour de plus en plus. L'apparition de cloud computing a connu un succès flagrant, des ressources informatiques illimitées s'offre aux utilisateurs et des nouvelles applications profitent pour s'épanouir en tirant avantage de cloud computing. L'internet des objets et l'apprentissage automatique ne sont pas exceptés. Si, pour l'internet des objets, le cloud computing offre une solution pour le manque des ressources de calculs et de stockage, pour l'apprentissage automatique cela ouvre une voie pour un nouveau service qui est l'apprentissage automatique comme service (MLaaS). De plus, l'apprentissage automatique est basé sur les grandes quantités de données qui sont générées principalement par des objets connectés.

Le clustering est parmi les techniques les plus utilisés en apprentissage automatique non supervisé. Il s'agit d'une technique qui permet de regrouper des individus dans des clusters sans avoir des connaissances préalables sur les données. Si le principe est simple à comprendre, il est, d'un autre côté, très gourmand en termes de temps de calcul. L'utilisation de cloud computing est une solution parfaite pour satisfaire ces besoins en termes de temps de calcul et de stockage. Cependant, les problèmes de la vie privée augmentent de plus en plus et freinent l'utilisation de cloud. En effet, les données proviennent de divers domaines tels que le marketing, la santé, la finance, le domaine militaire, etc. Si pour certains domaines les données ne sont pas sensibles, pour des domaines reliés à la santé, aux finances et aux domaines militaires les données sont souvent sensibles et le traitement de ces données est régulé par des lois particulières à chaque pays. Ces dernières mettent à l'arrêt tous les rêves d'épanouissement en utilisant le cloud pour ces domaines. Pour cela, la nécessité d'avoir des outils pour respecter la vie privée est vite ressentie.

L'apparition de chiffrement complètement homomorphe a ouvert une grande porte vers la réalisation de ce rêve. Ce concept offre un outil pour réaliser des calculs sur des données chiffrées sans avoir recours à les déchiffrer. Si cette solution semble intéressante, elle souffre en termes des opérations qui sont possibles. En effet, l'addition et la multiplication sont les seules opérations possibles. Théoriquement, avec ces deux opérations, il est possible de porter tout algorithme d'apprentissage automatique vers un domaine chiffré. Par contre, la méthode exacte n'est pas conseillée dans la pratique. En effet, les coûts de calculs introduits par les opérations telles que la division et la comparaison qui ne sont pas supportées directement sont énormes.

Les études actuelles s'intéressent à porter les algorithmes existant vers le domaine chiffré.

Cela, en proposant des méthodes qui remplace les opérations coûteuses ou qui minimise leurs coûts. Cependant, ces études s'intéressent souvent à des cas où les données sont complètes. Cela n'est pas en parfaite adéquation avec la réalité du terrain. En effet, dans la réalité, les données sont souvent incomplètes, et cela, pour différentes raisons telles que des réponses manquantes dans un sondage ou des capteurs défaillant dans le contexte de l'internet des objets.

L'objectif de ce mémoire est, d'une part, de présenter un état de l'art sur le clustering préservant la vie privée en utilisant le chiffrement homomorphe. D'autre part, il s'agit d'étudier le clustering en respectant la réalité du terrain sur la présence des données manquantes.

Afin d'atteindre ces objectifs, nous avons choisi d'organiser ce mémoire comme suie :

— **Chapitre 1 : Apprentissage automatique et vie privée**

Ce chapitre aborde les généralités sur l'apprentissage automatique et la vie privée. Dans un premier temps, il s'agit de définir les concepts fondamentaux du domaine et de mettre en valeur la nécessité de la préservation de la vie privée. Ensuite, nous citerons les techniques utilisées pour atteindre la protection de vie privée dans l'apprentissage automatique.

— **Chapitre 2 : Clustering et données manquantes**

Dans ce chapitre, on se limite aux techniques de clustering qui est le sujet principal de ce mémoire. Les généralités de clustering sont revues dans un premier temps. Puis les généralités sur les données manquantes en passant par les formes de ce problème ainsi que les solutions. Le dernier point est consacré pour un état de l'art sur la gestion des données manquantes pendant le clustering.

— **Chapitre 3 : Clustering et chiffrement homomorphe**

Ce dernier chapitre s'intéresse à une technique particulière de préservation de la vie privée : le chiffrement homomorphe. On passe en revue cette technologie, ses types, et les concepts qui la composent avant d'étudier son utilisation dans le contexte de clustering.

Chapitre 1

Apprentissage automatique et vie privée

1.1 Introduction

Ces dernières années, l'apprentissage automatique a connu une attention particulière dans divers domaines. Cela s'est accéléré avec l'apparition de "Cloud Computing". Ce dernier a pu donné naissance à un nouveau concept "l'Apprentissage automatique comme service", les entreprises proposent des modèles comme service à d'autres parties. Cependant, les voix protégeant la vie privée se sont vite levées et freinent l'avancement de certains domaines tels que la finance et la santé. En effet, les données manipulées par divers domaines sont souvent des données sensibles.

Le système actuel a donc vite connu ses limites. Cependant, de nouvelles voies de recherche sont apparues. L'apprentissage automatique préservant la vie privée est une perspective pour pallier à toutes les limites du système actuel. Pour cela, l'étude des menaces liées à l'apprentissage automatique et les mesures pour les contrer se voit inévitable. Ce domaine est en active recherche pour proposer des méthodes pour un apprentissage parfaitement privé et qui donnent des résultats équivalents aux méthodes actuels.

Avant de passer à l'étude de l'apprentissage automatique préservant la vie privée, il serait judicieux de rappeler les concepts de bases sur l'apprentissage automatique et la vie privée. Dans ce chapitre, les menaces liées à l'apprentissage automatique sont étudiées ainsi que les techniques de conception d'algorithmes préservant la vie privée.

1.2 Généralités sur l'apprentissage automatique

Avant de travailler sur un apprentissage automatique préservant la vie privée, des connaissances sur l'apprentissage automatique et leurs propriétés sont nécessaires. Il s'agit dans cette section de définir l'apprentissage automatique, d'illustrer ses différents types et les métriques pour évaluer la performance d'un algorithme d'apprentissage automatique.

1.2.1 Définition

L'apprentissage automatique a été défini pour la première fois par Arthur Samuel en 1959. Selon ce dernier, l'apprentissage est "le domaine d'étude qui permet aux ordinateurs d'apprendre sans être programmé explicitement pour ça". Plus précisément, l'apprentissage automatique consiste en la capacité d'un système à apprendre à partir des données existantes en vue d'améliorer les prédictions futures, et cela, en exploitant les connaissances apprises de façon automatique.

Selon Mitchel "Un programme informatique est dit 'apprendre' de l'expérience E en ce qui concerne certaines tâches T et de la mesure de performance P, si sa performance aux tâches en T, mesuré par P, s'améliore avec l'expérience E."

1.2.2 Stratégies d'apprentissage

L'apprentissage automatique peut être classifié en quatre classes selon la façon dont il apprend à partir des données : apprentissage supervisé, apprentissage non supervisé, apprentissage semi-supervisé, apprentissage par renforcement.

1.2.2.1 Apprentissage supervisé

Un algorithme d'apprentissage supervisé utilise des données d'entraînement étiquetées ou labellisées. Autrement dit, chaque donnée consiste en une paire (X, Y) avec X est un vecteur des caractéristiques et Y est la variable d'affectation. L'objectif est de construire un modèle à partir des données. Ce dernier permettra de prédire la valeur de Y à partir d'une nouvelle donnée X .

Cette stratégie peut être divisée en deux classes : la classification et la régression.

- **La classification supervisée** : Dans un algorithme de classification, la variable d'affectation Y est une catégorie ou une classe. L'objectif est d'attribuer une classe ou une catégorie à une valeur en entrée. la figure 1.1 illustre le cas d'une classification.
- **La régression** : Il s'agit d'une méthode statistique visant à approcher une fonction continue f à partir d'un échantillon de données. L'objectif est de prédire une valeur continue y à partir d'une entrée x . Dans cette classe, on retrouve plusieurs algorithmes tels que la régression linéaire, la régression polynomiale et autres. Dans la figure 1.2, une régression linéaire est illustrée.

1.2.2.2 Apprentissage non supervisé

Cette stratégie d'apprentissage est utilisée lorsque les données sont non classifiées et non étiquetées. Contrairement à l'apprentissage supervisé, dans ce cas, la variable Y est absente. L'objectif est de regrouper ces données dans des classes homogènes (clustering) ou de trouver

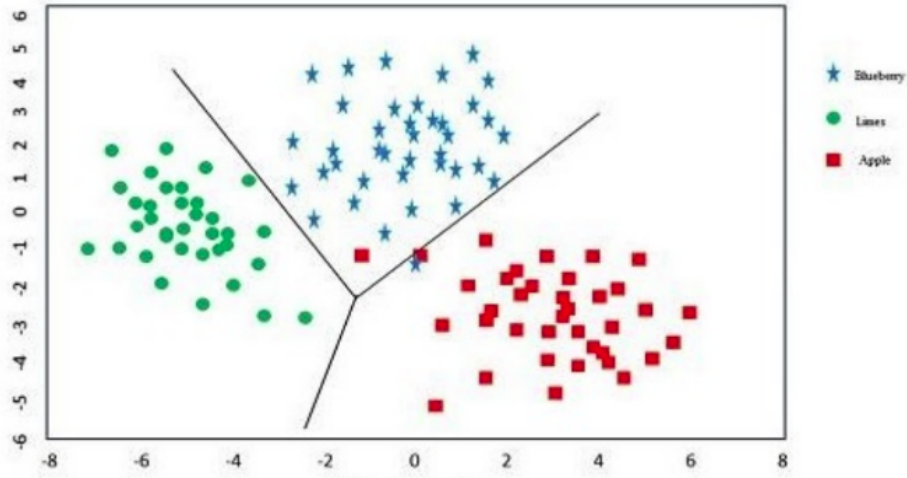


FIGURE 1.1 – Exemple de classification

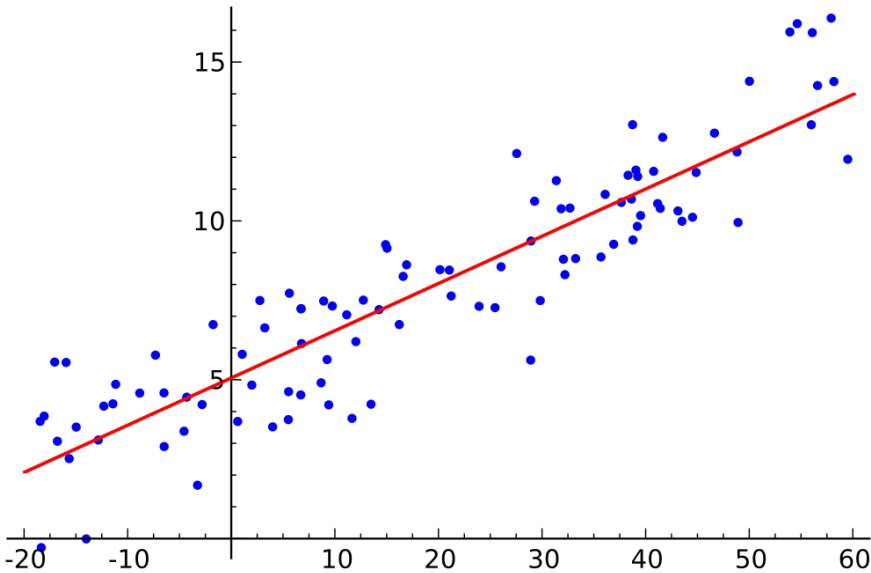


FIGURE 1.2 – Exemple de régression

des règles d’association entre les données, et cela, sans avoir des connaissances à priori sur les données. Le but est d’apprendre davantage sur les données. Les algorithmes d’apprentissage non supervisés peuvent être soit des algorithmes de partitionnement, soit des algorithmes d’association.

- Partitionnement : cela revient à trouver des groupements inhérents aux données, par exemple grouper des clients par leur comportement d’achat.
- Association : cela revient à trouver des relations entre les données.

Dans le cadre de cette étude, on s’intéresse à ce type d’apprentissage et plus précisément, on s’intéresse au clustering.

1.2.2.3 Apprentissage semi supervisé

On parle d'apprentissage semi-supervisé quand le jeu de données contient des données étiquetées et des données non étiquetées. Généralement, le nombre d'exemples non étiqueté est plus grand que les données étiquetées. L'apprentissage semi-supervisé et l'apprentissage supervisé ont le même objectif. En utilisant les données non étiquetées, on espère avoir un modèle meilleur[Vemuri, 2020].

1.2.2.4 Apprentissage par renforcement

L'apprentissage par renforcement est un sous-domaine de l'apprentissage automatique. Il s'agit pour un agent autonome d'apprendre à partir d'expériences, pour cela l'agent "vit" dans un environnement et prend des décisions selon son actuel état et l'environnement retourne une récompense qui peut être positive ou négative. Le but est d'apprendre une politique optimale qui maximise la récompense moyenne attendue. Une politique est une fonction qui prend le vecteur des caractéristiques d'un état et génère une action optimale à exécuter[Vemuri, 2020].

1.2.3 Métriques d'évaluations dans la classification

Évaluer un modèle d'apprentissage automatique est une étape primordiale avant toute publication de ce dernier. L'évaluation des performances en apprentissage automatique se fait en utilisant plusieurs métriques selon le type d'apprentissage en question (supervisé ou non).

1.2.3.1 Cas supervisé

Dans le cas de la classification supervisée, on utilise une matrice de confusion (Voir table 1.1) à partir duquel on construit des métriques telles que la précision, la justesse, le rappel, F1 mesures. Ces dernières sont définies dans la suite en se basant sur le cours de [Aries, 2018]

	Classe réelle=0	Classe réelle=1
Classe prédictive=0	Vrai Négatif	Faux Négatif
Classe prédictive=1	Faux positif	Vrai positif

TABLE 1.1 – Matrice de confusion

1. **La justesse** : désigne la proportion des prédictions correcte parmi tous les éléments.

$$Justesse = \frac{VP + VN}{VP + VN + FP + FN} \quad (1.1)$$

2. **La précision** : désigne la proportion des prédictions positives correctes par rapport aux prédictions positives réel.

$$precision = \frac{VP}{VP + FP} \quad (1.2)$$

3. **Le rappel** : il désigne la proportion des prédictions positives correctes par rapport aux prédictions correctes

$$rappel = \frac{VP}{VP + FN} \quad (1.3)$$

4. **F1 mesure** : la moyenne harmonique entre le rappel et la précision.

$$F1_score = 2 * \frac{precision * rappel}{precision + rappel} \quad (1.4)$$

1.2.3.2 Cas non supervisé

"Il est connu qu'il n'est pas aisé d'évaluer la qualité d'un clustering" [Palacio-Nino et al., 2019]. Plusieurs aspects doivent être pris en compte pour valider les résultats : détecter si une distribution non aleatoire existe sur les données, détecter le nombre exact de clusters, mesurer la qualité de clustering sans information externe, comparer les résultats avec des données externes, comparer deux clustering pour déterminer le meilleur.

Selon ces aspects, [Gan et al., 2007] propose une classification des méthodes d'évaluation pour l'apprentissage non supervisé. Ces différentes méthodes d'évaluation de clustering seront vu en détails dans le chapitre 2.

1.3 Généralités sur la vie privée

Le droit au respect de la vie privée a été affirmé par la déclaration universelle des droits de l'homme des nations unies en 1948. Chaque pays possède des lois spécifiques à la vie privée. Selon l'article 47 de la constitution algérienne, "Toute personne a droit à la protection de sa vie privée et de son honneur". En France, selon l'article 9 du code civil "Toute personne a droit au respect de sa vie privée". L'attention dont réjouit la vie privée donne une idée sur son importance. Dans cette section, il s'agit de définir les concepts liés à la vie privée et d'introduire des notions de bases sur la cryptographie qui est parmi les outils fondamentaux pour assurer la protection de la vie privée.

1.3.1 Définitions

Il est nécessaire de situer les concepts qu'on veut protéger avant de voir les techniques qui permettent de les protéger. Dans cette partie, on définit deux concepts : la vie privée et les

données sensibles.

1. **Vie privée** : il n'existe pas une définition commune pour la vie privée ou pour être plus précis pour "le droit à l'intimité de la vie privée". Il s'agit d'un droit civile qui englobe la protection des informations à caractère personnel et des données sensibles pendant leur stockage et leur traitement.
2. **Données sensibles** : il s'agit de toute information concernant une personne identifiée ou identifiable. Elles concernent toutes les données qui révèlent l'origine raciale ou ethnique, les opinions politiques, les convictions religieuses ou philosophiques, l'appartenance syndicale de la personne concernée ou qui sont relatives à sa santé y compris ses données génétiques.¹

1.3.2 La cryptographie au service de la vie privée

Dans l'ère d'Internet, préserver la vie privée est une nécessité. Des moyens techniques et organisationnels sont mis en œuvre pour assurer la vie privée. Si les moyens organisationnels se limitent à des lois et à des politiques. Les moyens techniques sont divers mais ils se basent principalement sur la cryptographie. Dans cette section, nous allons rappeler quelques concepts fondamentaux de la cryptographie, en passant par la définition, les objectifs, les types et les techniques avancées.

1.3.2.1 Définition

Dans certains ouvrages, la cryptographie (crypto = secret + graphie= écriture) est définie comme "un processus visant à stocker et à transmettre des données, dans un format non-original de façon à ce que seules les personnes autorisées pourront y accéder et effectuer des traitements." La conversion de message en clair vers un message chiffré est appelée chiffrement. Le processus inverse est appelé le déchiffrement. Cette définition reste historiquement vraie, mais n'englobe pas la cryptographie dans son sens moderne. Selon [Jonathan Katz, 2021], la cryptographie est "l'étude des concepts mathématiques pour sécuriser l'information, les systèmes, et les calculs distribués contre les attaques adverses".

1.3.2.2 Services de la cryptographie

La cryptographie rend principalement quatre services : la confidentialité, l'authentification, l'intégrité et la non-répudiation. Les exemples sont tirés de livre de [Guillot, 2013]

- **Confidentialité** : Selon l'organisation mondiale de la standardisation (ISO), la confidentialité est "le fait de s'assurer que l'information n'est accessible qu'à ceux dont l'accès est autorisé". Il s'agit d'une problématique de discréetion et du secret. Par exemple, l'ordre des généraux, même s'il est intercepté, ne doit pas être connu par l'ennemi.

1. <https://www.joradp.dz/FTP/JO-FRANCAIS/2018/F2018034.pdf>

- **Authentification** : "Action d'authentifier, procédure visant à certifier l'identité de quelqu'un ou d'un ordinateur afin d'autoriser le sujet d'accéder à des ressources."² Il s'agit de vérifier si la personne est bien celle qu'elle prétend être. Par exemple, dans le cadre d'un virement, il s'agit de vérifier que la personne bénéficiaire est bien la personne désignée.
- **Intégrité** : "l'intégrité des données désigne l'état de données qui, lors de leur traitement, de leur conservation ou de leur transmission, ne subissent aucune altération ou destruction volontaire ou accidentelle, et conservent un format permettant leur utilisation."³ L'intégrité s'assure que le message envoyé est égal au message reçu. Par exemple, dans le cadre d'un transfert bancaire, le montant reçu est bien le montant envoyé.
- **Non-répudiation** : "La non-répudiation de l'origine assure que l'émetteur du message ne pourra pas nier avoir émis le message dans le futur."⁴ Dans le cadre d'un transfert bancaire, il s'agit d'avoir un mécanisme pour que la personne qui a émis le virement ne nie pas de l'avoir fait.

1.3.2.3 Types de chiffrement

On distingue principalement deux types de chiffrement dans la littérature. Ces deux chiffrement diffèrent dans la façon de déchiffrement.

1. **Symétrique** : Connu sous le nom de chiffrement à clé privée, il s'agit d'un type de chiffrement où la clé de chiffrement est la même que la clé de déchiffrement. i.e L'émetteur de messages et le récepteur partagent une clé privée au préalable. Ce type de chiffrement présente l'avantage d'être rapide, mais présente un problème pour le partage de la clé. Data Encryption Standard(DES) et Advanced Encryption Standard (AES), sont deux exemple de ce type.
2. **Asymétrique** : Appelé aussi chiffrement à clé publique, il s'agit d'un type de chiffrement où la clé de chiffrement de message n'est pas la même que la clé de son déchiffrement. La clé de chiffrement est dite clé publique et celle de déchiffrement est dites clé privée. Dans ce cas, l'émetteur chiffre le message avec la clé publique de destinataire et ce dernier utilise sa clé privée pour le déchiffrement. L'avantage est que c'est plus pratique pour la gestion des clés cependant, il est très lent pour effectuer les calculs. Un exemple de ce chiffrement est le chiffrement RSA [Rivest et al., 1978b].

1.3.2.4 Techniques avancées

Si, dans le passé, la cryptographie se limitait à chiffrer et à déchiffrer des messages, actuellement, le domaine de la cryptographie connaît plusieurs techniques avancées. Dans cette partie, on définit certaines techniques avancées : le calcul multi partie sécurisé, le garbled circuit, et le chiffrement homomorphe.

2. www.linternaute.fr/dictionnaire/fr/definition/authentification/

3. [fr.wikipedia.org/wiki/Intégrité_\(cryptographie\)](http://fr.wikipedia.org/wiki/Intégrité_(cryptographie))

4. moodle.utc.fr/pluginfile.php/16777/mod_resource/content/0/SupportIntroSecu/co/CoursSecurite_15.html

1. **Multi partie computation** : Il s'agit d'"un protocole cryptographique qui distribue un calcul entre plusieurs parties où aucune partie individuelle ne peut voir les données des autres parties."⁵. MPC a été élaboré pour mettre en œuvre des applications préservant la confidentialité. Dans ce cas, plusieurs parties, se méfiant mutuellement, coopèrent afin de calculer une fonction spécifique. Plusieurs techniques sont mises en œuvre par la communauté depuis l'apparition de ce protocole, toutes ces applications ont en commun la communication entre les parties. Parmi ces protocoles garbled circuit défini dans la suite.
2. **Garbled Circuit** : "Le circuit brouillé est un protocole cryptographique qui permet un calcul sécurisé à deux parties dans lequel deux parties méfiantes peuvent évaluer conjointement une fonction sur leurs entrées privées sans la présence d'un tiers de confiance. Dans le protocole de circuit brouillé, la fonction doit être décrite comme un circuit booléen."⁶
3. **Chiffrement homomorphe** : Cette technique est étudiée plus en profondeur dans le chapitre 3. Il s'agit d'un type de chiffrement qui permet d'effectuer des calculs sur des données chiffrées, i.e. sans déchiffrer ces données. Le résultat de ce calcul est aussi chiffré. "Cette technique est particulièrement lourde en terme de temps de calculs." [Boulemtafes et al., 2020], cela fait qu'elle soit combiner à des protocoles pour effectuer les opérations plus évolué tel que la comparaison ou la division.

1.4 Généralités sur l'apprentissage automatique préservant la vie privée

Une fois qu'on a revu l'apprentissage automatique et la cryptographie, nous pouvons aborder l'apprentissage automatique préservant la vie privée. Nous allons aborder dans cette section, les menaces lié à l'apprentissage automatique dans un domaine non privée et nous allons voir les techniques utilisées pour concevoir un algorithme et les métriques nécessaires pour l'évaluer. Et en dernier lieu nous allons revoir quelques algorithmes d'apprentissage automatique implémenté dans ce cadre tout en citant certains travaux à titre d'illustration.

1.4.1 Qu'est ce que la confidentialité dans l'apprentissage automatique

Selon [Tiwari et al., 2021], la confidentialité dans l'apprentissage automatique désigne le droit de protéger les données d'entraînement, le modèle, les paramètres de modèle et la protection contre les attaques par inférence. Il y a violation de la vie privée lorsque la confidentialité d'un individu est compromise. Dans l'apprentissage automatique, le modèle entraîné est une propriété intellectuelle de son propriétaire.

5. <https://inpher.io/technology/what-is-secure-multiparty-computation/>

6. <https://crypto.stackexchange.com/questions/37991/what-exactly-is-a-garbled-circuit>

1.4.2 Menaces liées à l'apprentissage automatique

Dans [Tiwari et al., 2021], les attaques contre les modèles de l'apprentissage automatique sont classé en deux catégories : attaques explicites et attaques implicites. Les attaques explicites concernent le cas où les données d'entraînement sont accessibles ou divulguées. En revanche, les attaques implicites se produisent lorsque les données d'entraînement ne sont pas disponibles pour l'adversaire, mais il peut deviner ou déduire les données à l'aide de techniques astucieuses. Dans ce qui suit, on s'intéresse aux attaques implicites. On les classe selon l'organigramme de la figure 1.3.

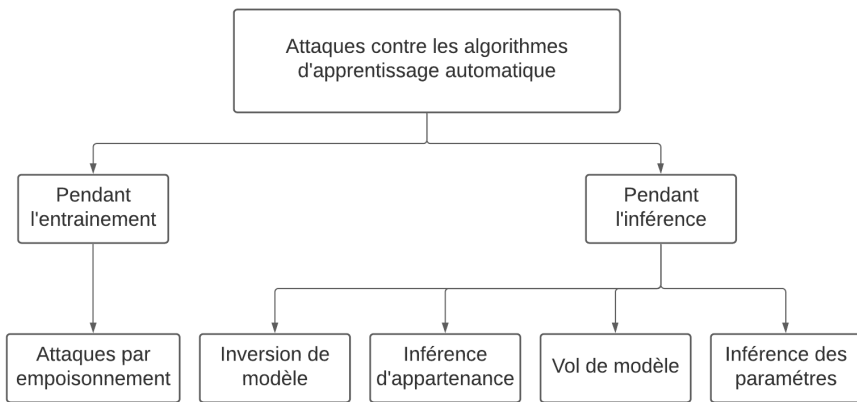


FIGURE 1.3 – Taxonomie des attaques sur l'apprentissage automatique

1.4.2.1 Attaques pendant l'entraînement

Ces attaques visent à endommager et à compromettre le modèle en sortie. Il s'agit de des attaques par empoisonnement. Elles peuvent être effectuées si l'attaquant a un accès aux données d'entraînement. Dans le cas supervisé, l'attaquant peut essayer par exemple de changer les labels des données. Dans le cas non supervisé, il s'agit de polluer les données pour fausser les résultats de clustering par exemple. L'objectif peut varier selon l'attaquant mais l'effet de ces attaques est néfaste. En effet, elles ne sont pas limitées à empoisonner les données d'entraînement, mais elles peuvent aussi empoisonner l'algorithme et le modèle et ainsi les sorties.

1.4.2.2 Attaques pendant l'inférence

L'inférence est l'étape qui visent à prédire de nouvelles valeurs à partir d'un modèle entraîné. Plusieurs attaques surviennent à ce niveau. L'inversion de modèle, l'inférence d'appartenance, le vol de modèle et l'inférence des paramètres sont les attaques les plus répandues dans la littérature.

1. **Inversion du modèle :** l'adversaire tente de déduire un attribut sensible d'une instance des données d'entraînement à partir d'un modèle publié. Un exemple de cette attaque est celle découverte par [Fredrikson et al., 2014], ils ont réussi à révéler des informations

sensibles sur les patients, telles que l'âge, la taille et les données génomiques, en ayant simplement accès par une à l'API du modèle de prédiction du dosage des médicaments.

2. **Inférence d'appartenance** : Il s'agit d'une méthode visant à savoir si un échantillon appartient aux données sur lesquelles un modèle est entraîné. [Shokri et al., 2017] décrit comment un adversaire peut obtenir un vecteur de probabilité pour un point de données donné en interrogeant le modèle cible. Ce vecteur peut être utilisé pour déduire si le point appartient aux données d'entraînement.
3. **Vol de modèle** : Un modèle d'apprentissage automatique est un résultat de plusieurs activités rigoureuses : agrégation des données, nettoyage et transformation, sélection d'algorithmes, réglage d'hyperparameters et de l'entraînement. Par conséquent, les modèles entraînés sont considérés comme la propriété intellectuelle de leur propriétaire. Une atteinte à la vie privée et la propriété intellectuelle se produit si le modèle est extrait ou compromis.
4. **Inférence des paramètres** : Cela concerne la déduction des informations spécifiques à un modèle. Les chaînes de markov caché et les vecteurs à support machine sont les algorithmes les plus visés par ce type d'attaques.

1.4.3 Conception et évaluation des techniques

La conception et la mise en œuvre d'un algorithme d'apprentissage automatique préservant la vie privée sont un processus nécessitant une connaissance des méthodes pour la confidentialité. Ces méthodes doivent être évaluées pour connaître la bonne selon un contexte donné. Dans cette section, nous énumérerons ces méthodes ainsi que les différentes métriques utilisées pour les évaluer.

1.4.3.1 Méthodes pour la confidentialité dans l'apprentissage automatique

Plusieurs méthodes ont été proposées dans la littérature pour préserver la confidentialité de l'apprentissage automatique. Ces méthodes peuvent être classées en trois groupes. [Xu, 2020]

1. **Méthodes par anonymisation** : Dans cette méthode, il s'agit de rendre un enregistrement de données impossible à distinguer en utilisant des suppressions de données sensibles ou des méthodes de généralisation. Les méthodes les plus populaires sont : K-anonymity[Sweeney, 2002], l-diversity[Machanavajjhala et al., 2007], t-closeness[Li et al., 2007]. Ces méthodes visent à supprimer les identifiants des informations avant de les utiliser pour l'entraînement. Ces méthodes sont appliquées avant la publication des données.
2. **Techniques basées sur la cryptographie** : Ces méthodes sont utilisées quand plusieurs parties travaillent sur les mêmes données. Ces techniques sont principalement les techniques avancées déjà présentées dans les généralités sur la cryptographie. Le chiffrement homomorphe a été vu dans le cadre de la plupart des algorithmes supervisés :

[Zuber and Sirdey, 2021] s'est intéressé à KNN, [Bonte and Vercauteren, 2018] à l'entraînement de la régression logistique, [Wood et al., 2019] à Naive Bayes et pleins de travaux se sont intéressé aux réseaux de neurones telsque [Minelli, 2018]. [Xu et al., 2019] propose d'entraîner la cryptographie fonctionnel pour entraîner un réseau de neurones. Ces méthodes ont comme inconvénient le taux de communication ou/et le temps de calculs.

3. **Approches basées sur les perturbations** : Dans ces approches, il s'agit de transformer des données en ajoutant un bruit de façon à ce que les données sensibles soient masquées tout en gardant leurs propriétés pour construire un modèle. Parmi les méthodes qui utilisent cette approche, on peut citer la confidentialité différentielle. [Abadi et al., 2016] propose une descente de gradient stochastique en utilisant la confidentialité differentiel pour un modele d'apprentissage profond. [McMahan et al., 2017] indique qu'il est possible d'entrainer des grand modele de langage réccurents en utilisant la confidentialité differentiel et garder la precision de modele a des niveaux accepté.

1.4.3.2 Métriques de performances :

Dans l'article [Boulemtafes et al., 2020], les auteurs considèrent trois métriques de performances pour évaluer le mérite d'une technique d'apprentissage préservant la confidentialité : l'efficacité, le rendement, la sécurité.

1. **Efficacité** : Il s'agit de savoir à quel degré les objectifs et les résultats souhaités sont atteints. Principalement, il coincide avec les métriques standard d'évaluation des algorithmes d'apprentissage automatique. La version preservant la vie privée doit avoir des performances à un niveau presque égale à la version standard.
2. **Rendement** : Il s'agit d'avoir des versions pratique en termes de temps d'exécution et en surcharge réseau. Cette métrique doit avoir des valeurs les plus minimale possible. Il s'agit d'un des challenges les plus importants à relever. En effet, les temps de calculs et les communications sont principalement les deux aspects qui freinent l'application des solutions proposé actuellement dans le domaine de l'apprentissage automatique.
3. **Sécurité** : elle est évaluée théoriquement ou formellement en se basant sur des propriétés ou bien grâce à des études empiriques. "Les garanties de sécurité des protocoles utilisés dans un système distribué reposent sur la simulation de monde réel"[Cabrero-Holgueras and Pastrana. Pour cela deux modeles de sécurité sont défini dans la litterature : le modele honnête mais curieux et le modele malicieux. Le premier est un modele passif qui suit le protocole pour lequel il a été conçu à la lettre tandis que le deuxième peut alterer le protocole à tout moment. La sécurité concerne la sécurité des données d'utilisateur ainsi que le modèle pendant l'entraînement, l'inférence et en production. En effet, plusieurs fuites d'informations peuvent avoir lieu dans les différentes phases et ces dernières doivent être évitées.

1.4.4 Pour un apprentissage parfaitement privée

Les méthodes citées déjà précédemment ne permettent pas d'avoir une préservation parfaite de la vie privée. Patricia Thaine⁷ a identifié quatre aspects à protéger pour avoir un algorithme d'apprentissage préservant la vie privée parfaitement : les données d'entraînement, les entrées, les sorties et le modèle.

Dans cette partie, on s'intéresse plus précisément aux travaux de [Boulemtafes et al., 2020]. Ces travaux voient le sujet d'une manière plus large. Il s'agit d'un état de l'art sur les techniques de préservation de la confidentialité dans l'apprentissage profond. Les techniques illustrées peuvent être facilement projetées sur l'apprentissage automatique. Dans ces travaux, les auteurs classent les techniques selon plusieurs critères en quatre niveaux : selon la phase durant laquelle la technique est appliquée, selon le nombre de participants dans l'apprentissage, selon la partie effectuant les calculs et selon les concepts clé utilisés. Les méthodes étant vues dans la partie 1.4.3.1, on illustre dans cette partie les techniques selon la phase dans laquelle la technique est appliquée et le nombre de participants.

Les techniques de la préservation de la confidentialité peuvent être appliquées dans les trois phases de l'apprentissage automatique. Les techniques visent à contrer les attaques citées précédemment.

1.4.4.1 Pendant l'entraînement

La vie privée, durant la partie d'entraînement, pose problème dans le cas où les données seraient sensibles telles que des informations personnelles. Les techniques utilisées dans cette phase sont classées selon l'organigramme 1.4.

Un entraînement d'un modèle peut être collaboratif ou individuel. Dans le cas d'un entraînement collaboratif, plusieurs participants collaborent pour entraîner un modèle, alors que dans le cas individuel, une seule partie entraîne le modèle. Dans ces deux cas, un entraînement peut être basé sur un serveur (server-based) ou bien assisté par un serveur (server-assisted). Le premier cas (server-based), l'entraînement s'effectue dans une infrastructure externe aux participants comme un cloud. Dans le cas assisté par un serveur, les participants collaborent pour entraîner le modèle.

Les outils recensé dans le cadre de l'entraînement sont : Le chiffrement (Enc), la transformation (Tr), le calcul multi-parties (MPC), le partage partiel (PS), model splitting (MS), modele partagé (SM). Le tableau 1.2 résume les techniques utilisées dans la littérature pour un entraînement préservant la vie privée. Pour avoir des informations sur les travaux concernés, veuillez vous référer à la source [Boulemtafes et al., 2020].

7. <https://towardsdatascience.com/perfectly-privacy-preserving-ai-c14698f322f5>

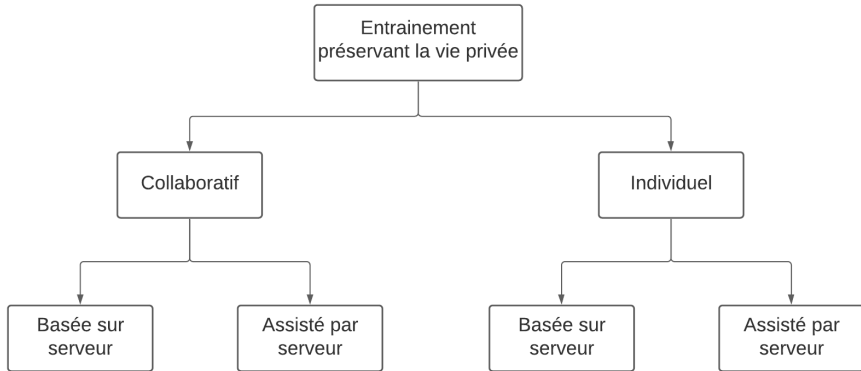


FIGURE 1.4 – Classification Entraînement [Boulemtafes et al., 2020]

		Enc	Tr	MPC	PS	MS	SM
Colaboratif	Server-based	X	X				
	Server-assisted	X	X	X	X		
Individuel	Server-based	X					
	Server-assisted				X	X	

TABLE 1.2 – Techniques utilisés dans l’entraînement préservant la confidentialité

1.4.4.2 Pendant l’inférence

L’inférence est le processus visant à prédire une valeur en se basant sur un modèle déjà entraîné. Comme pour l’entraînement privé, elle est classée en deux parties (Voir figure 1.5) : server assisted et server-based. Dans le cas server-based, l’inférence s’effectue exclusivement sur le serveur externe alors que dans le 2ème cas (assisted) l’inférence se fait avec une collaboration entre le serveur et le client.

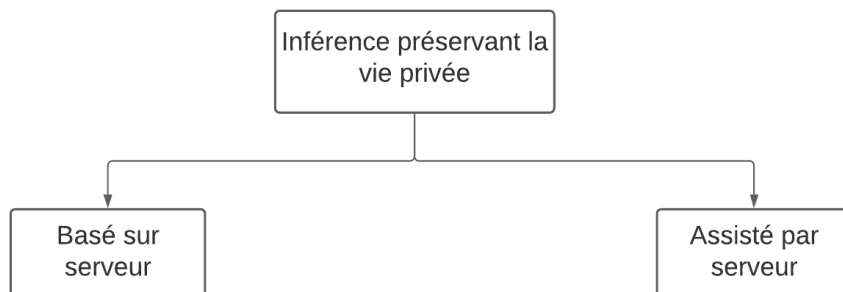


FIGURE 1.5 – Classification Inférence [Boulemtafes et al., 2020]

Les outils recensés dans le cadre de l’inférence sont : Le chiffrement (Enc), la transformation (Tr), le calcul multi-parties (MPC), model splitting (MS). Le tableau 1.3 résume les techniques utilisées dans la littérature pour une inférence préservant la vie privée. Pour avoir des informations sur les travaux concernés veuillez vous référer à la source [Boulemtafes et al., 2020].

	Enc	Tr	MPC	PS	MS	SM
Server-based	X	X	X			
Server-assisted					X	

TABLE 1.3 – Techniques utilisés dans l’inférence préservant la confidentialité

1.4.4.3 Partage de modèle avec préservation de la confidentialité

Partager un modèle entraîné comme service ou le modèle en lui-même expose les données à des attaques connues comme l’inversion de modèle ou l’inférence d’appartenance. La principale méthode utilisée dans cette phase est la Confidentialité différentielle. La confidentialité différentielle peut être appliquée sur : les paramètres de modèle, les données d’entrée, l’entraînement dit mimic⁸.

1.5 Conclusion

Le but de ce chapitre était de situer notre sujet en abordant les concepts de bases de l’apprentissage automatique et de la vie privée. Notre sujet s’intéresse principalement à une méthode d’apprentissage automatique non supervisée qui est le clustering. Cette méthode va être étudiée dans le contexte d’une méthode basée sur la cryptographie, à savoir le chiffrement homomorphe.

Ainsi, dans ce premier chapitre, nous avons défini les généralités sur la confidentialité dans l’apprentissage automatique. Nous avons mis en valeur la nécessité d’un apprentissage automatique préservant la vie privée en étudiant les menaces qui y sont liées : les attaques pendant l’entraînement et pendant l’inférence. Ensuite, nous avons classé les méthodes pour concevoir des solutions en trois classes : les méthodes par anonymisation, basée sur la cryptographie et basée sur les perturbations. Des exemples de travaux concernant les algorithmes de classification ont été donnés pour appuyer l’utilisation de ces techniques. Les critères d’évaluation de ces solutions sont principalement : l’efficacité, le rendement et la sécurité. Ces critères seront utilisés dans le dernier chapitre pour comparer les solutions.

8. L’idée est d’entraîner un premier modèle efficace sur les données originales(Ce modèle, on le nomme l’enseignant). Puis, on annote un autre dataset qui sera utilisé pour entraîner un deuxième modèle(étudiant)

Chapitre 2

Clustering et données manquantes

2.1 Introduction

Ayant étudié les concepts de l'apprentissage automatique dans le premier chapitre, il est temps de rentrer dans le vif de notre sujet : le clustering avec des données manquantes.

Le clustering est considéré comme un outil performant d'analyse fournit par l'apprentissage automatique. Grâce à sa capacité d'extraction des connaissances, il a connu de nombreuses applications allant de la simple manipulation d'une base de données à la segmentation des images. Cependant, le clustering rencontre plusieurs défis dans la réalité. En effet, les algorithmes de clustering standard ne possèdent pas d'outils internes pour gérer la présence des données manquantes. Ces dernières sont un problème fréquent dans la vie réelle. En effet, les données manquantes apparaissent pour différentes causes allant d'une simple faute de frappe à un dysfonctionnement des appareils de mesure.

Les recherches pour proposer des solutions pour les données manquantes ont connu plusieurs travaux. Avant de voir ces solutions proposées, il est judicieux de connaître les bases de clustering ainsi que les bases sur les données manquantes. Ces concepts sont présentés dans la suite.

2.2 Généralités sur le clustering

Le clustering parmi les algorithmes d'apprentissage non supervisé et s'intéresse à un problème de classification non supervisé. Comme il est le sujet principal de notre sujet, il est primordial de connaître le maximum des aspects lié au clustering.

2.2.1 Qu'est-ce que le clustering

Le clustering est une catégorie d'algorithmes appartenant à l'apprentissage non supervisé. Ces algorithmes essaient d'apprendre des similitudes au sein des données puis de les regrouper dans des clusters [Alzubi et al., 2018] (voir figure 2.1). Le but est de "Regrouper un ensemble

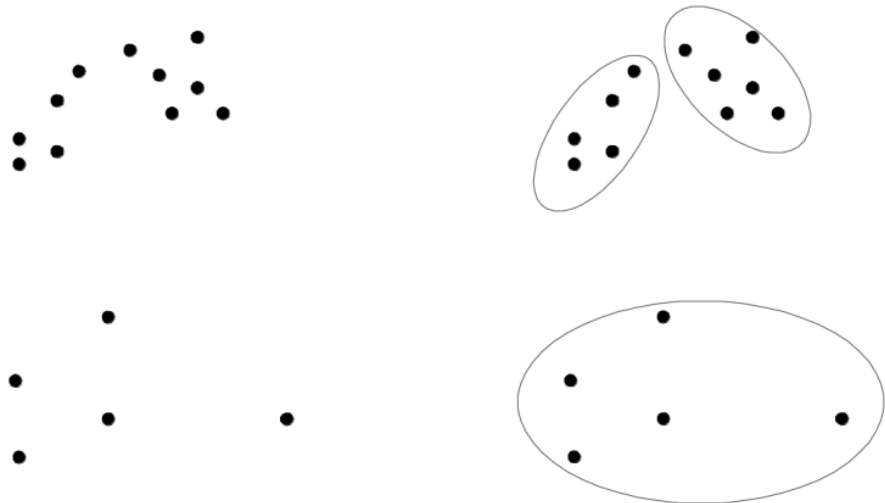


FIGURE 2.1 – Clustering par partitionnement

de données en différents groupes homogènes. Tels que les éléments d'un même groupe soient les plus similaires possibles et ceux de groupes différents les plus dissimilaires possibles."¹

2.2.2 Exemples d'application

Les techniques de clustering connaissent plusieurs applications dans le monde réel. Il est utilisé pour l'exploration des données, dans la bio-informatique, dans le traitement d'image, dans l'apprentissage automatique... Le but derrière un clustering peut être classé en trois : la segmentation d'une base de données, la classification et l'extraction de connaissance. Dans ce qui suit, on illustre certains exemples d'utilisation de clustering. Ces exemples sont extraits de [Gan et al., 2007]

1. **Domaine de la génétique :** Le clustering est appliqué principalement dans le domaine de la génétique dans le but de regrouper les individus ayant des formes génétiques proches. Les travaux de [McDowell et al., 2018] sont un exemple qui s'intéresse à l'application de clustering dans le domaine de la génétique.
2. **Domaine de la santé :** le clustering a été largement utilisé dans le domaine de la santé. Il a été utilisé pour identifier les groupes d'individus qui sont susceptibles de bénéficier d'un service de santé spécifique dans le cas de [Hodges and Wotring, 2000]. De plus, il peut être utilisé pour identifier les groupes d'individus qui sont susceptibles d'avoir des formes graves d'une maladie.
3. **Marketing :** il est utilisé pour segmenter les clients dans le but de cibler les campagnes de marketing selon ce qui pourrait intéresser un client particulier. Il peut être aussi utilisé pendant la phase de l'étude de marché pour cibler les marchés les plus intéressants.
4. **Segmentation d'images :** La segmentation des images consiste à décomposer en niveaux

1. Cours d'Analyse de données de Hamdad Leila à l'ESI

de gris et de couleurs homogène. Le clustering est utilisé pour détecter les bordures d'un objet dans une image.

2.2.3 Vocabulaire et notation

Dans cette section, il s'agit de définir le vocabulaire ainsi que les notations utilisées dans le cadre de clustering.

2.2.3.1 Enregistrement et attribut

Dans la littérature, plusieurs termes peuvent être utilisés pour faire référence à un enregistrement de données. Un point de données, un individu, une observation, un objet, un tuple, sont tous des termes qui peuvent faire référence à un enregistrement. Ce dernier est constitué de plusieurs composantes. Une composante de son côté peut avoir plusieurs appellations : une variable, une caractéristique ou un attribut.

Un ensemble de n enregistrements est souvent noté $D = \{x_1, x_2, \dots, x_n\}$ avec $x_i = (x_{i,0}, x_{i,1}, \dots, x_{i,d-1})$ est un enregistrement de d attributs $x_{i,j}$. La dimension de l'ensemble de données est notée nxd .

2.2.3.2 Distances et similarités

Les notions de distance et similarité sont des notions indispensables en clustering. Elles permettent de mesurer la ressemblance entre les données. Cependant, les notions de similarité et de distance ne sont pas complètement égale. La similarité entre deux points est souvent notée par s . Tandis qu'une distance entre un point x_i et un point y_i est notée par $d(x_i, y_i)$. Une distance peut se transformer en similarité en posant $s(x_i, y_i) = \frac{1}{1+d(x_i, y_i)}$.

Dans ce qui suit, étant donné deux points $x = (x_1, x_2, \dots, x_n)$ et $y = (y_1, y_2, \dots, y_n)$ on définit les distances suivantes

- distance Manhattan : elle est calculée selon la formule 2.1

$$d(x, y) = \sum_{i=1}^n |x_i - y_i| \quad (2.1)$$

- distance euclidienne : elle est calculée selon la formule 2.2

$$d(x, y) = \sqrt{\sum_{i=1}^n (x_i - y_i)^2} \quad (2.2)$$

- distance de Minkowski : elle est calculée selon la formule 2.3

$$d(x, y) = \sum_{i=1}^n |x_i - y_i|^p \quad (2.3)$$

- distance de Tchebychev : elle est calculée selon la formule 2.4

$$d(x, y) = \sup_{1 \leq i \leq n} |x_i - y_i| \quad (2.4)$$

2.2.3.3 Clusters, centres, et modes

Un cluster est un groupe de points partageant des caractéristiques communes selon une mesure de similarité connue. Un cluster est souvent représenté par un point appartenant à ce cluster ou par son centre de gravité. Dans le cas des données catégorielles, un cluster est souvent représenté par le mode.

2.2.3.4 Hard Clustering et Fuzzy Clustering

Deux types de clustering peuvent être trouvé dans la littérature. Dans le cas d'un clustering dit "hard", chaque objet est supposé appartenir à un et un seul cluster. Tandis que dans le cas de le clustering dit "Fuzzy", un objet peut se trouver dans différent cluster avec une probabilité.

2.2.4 Approches de clustering

Selon [Gan et al., 2007], Un algorithme de clustering bien conçu passe par plusieurs étapes. Le processus de conception passe principalement par 4 étapes (voir figure 2.2) : visualisation des données, la modélisation, l'optimisation et la validation. La visualisation des données détermine quels types de structures pourra avoir un cluster. En se basant sur les résultats de la visualisation, la phase de modélisation définit les critères de séparation des clusters et ainsi les indices de similarité à utiliser. La mesure de qualité est ensuite optimisé ou approximé.

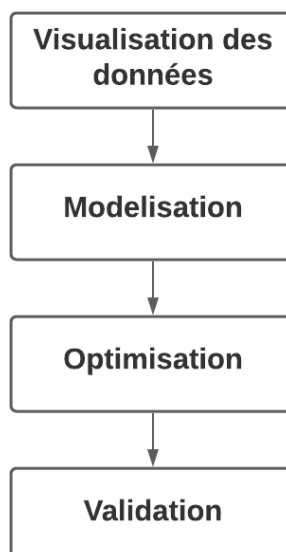


FIGURE 2.2 – Processus de clustering

Les choix de conception impliquent de choisir l'indice de similarité ainsi que l'approche de clustering à suivre. Dans [Ghosal et al., 2020], les méthodes de clustering sont classifiées en cinq approches qu'on définira dans cette partie. La figure 2.7 montre la différence entre les différentes approches.

2.2.4.1 Approche par partitionnement

C'est une approche visant à avoir des classes disjointes selon la définition d'une partition (voir figure 2.1). Il s'agit d'une approche itérative qui essaie de regrouper les données dans k clusters (k étant connu) en se basant sur leur similarité. Dans cette méthode, les centres de cluster sont initialisés en premier. Puis sur la base d'une métrique de similarité, le point en question est affecté au cluster dont la similarité est plus petite. Parmi les algorithmes utilisant cette approche : K-means et k-medoids. Dans ce qui suit, on illustre l'algorithme K-means.

- Illustration de K-means

L'algorithme de clustering k-means est un algorithme qui utilise l'approche par partitionnement. Il a été développé par [MacQueen et al., 1967]. Il s'agit sans doute de l'algorithme le plus répandu. Son idée est simple, les points d'un même cluster sont plus proches du centre de gravité(désigné par centre) de ce cluster que des centres de gravité des autres clusters.

Principe de fonctionnement :

Le processus de l'algorithme commence par la sélection de k points aléatoirement comme des centres initiale. Puis tous les points seront attribués au centre le plus proche. Ensuite, on met à jour les centres en recalculant la moyenne des points de chaque cluster. Les données sont affectées à chaque cluster de la même façon que précédemment. Enfin, ce processus conduit à la création de nouveaux clusters par les nouveaux centres. Le processus est répété jusqu'à ce que les centres ne changent plus ou un nombre d'itérations maximum est atteint. Les étapes de l'algorithme des k-means sont présentées dans l'algorithme 1 et l'exécution est illustré dans la figure 2.3.

Algorithme 1 : K-means

Input : Data, n_clusters

Output : centres

- 1 Initialiser centres avec k points choisis aléatoirement parmi Data
 - 2 **while** non-convergence **do**
 - 3 Affecter les points de Data aux clusters
 - 4 Recalculer les nouveaux centres
 - 5 **return** centres
-

Composantes de l'algorithme K-means :

1. **Initialisation des centres** : le centre désigne le centre de gravité de cluster. Les centres initiaux sont souvent choisi aléatoirement parmi les points des données existantes, mais cela peut poser un problème, car deux initialisations différentes peuvent mener à des

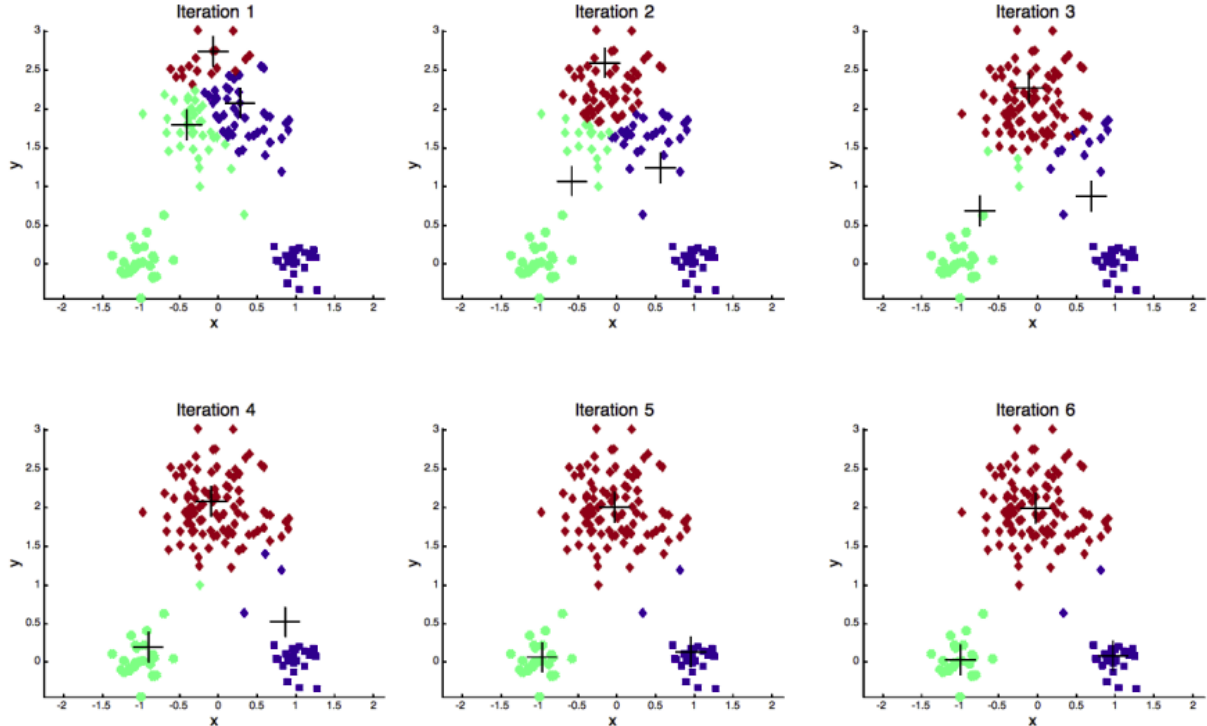


FIGURE 2.3 – Exécution de l'algorithme k-means

clustering différent.

2. **Affectation des points aux clusters** : pour affecter les points aux clusters, la distance entre chaque point et le centre de cluster est calculée. Puis, le point est affecté vers le centre le plus proche. La distance euclidienne est la plus répandue.
3. **Calcul des nouveaux centres** : il s'agit de la moyenne de tous les points affectés au cluster. Il est calculé selon la formule 2.5

$$\frac{\sum_{x_i \in C} x_i}{|C|} \quad (2.5)$$

4. **Critère d'arrêt** : le critère d'arrêt de l'algorithme est soit la non-évolution des centres ou un nombre d'itérations maximal.

2.2.4.2 Approche basée densité

Cette approche utilise la densité des points de données dans l'espace de données pour former des clusters. "L'approche est basée sur l'idée qu'un cluster est une région contiguë de point à forte densité. Les données dans les régions qui séparent les clusters ont une faible densité et elles sont considérées comme des valeurs aberrantes". Plusieurs algorithmes appartiennent à cette classe, le plus populaire est DBSCAN (Density-Based Spatial Clustering of Applications with Noise). HDBSCAN, OPTICS sont d'autres algorithmes à base de densité. La figure 2.4 illustre un clustering effectué par l'algorithme DBSCAN.

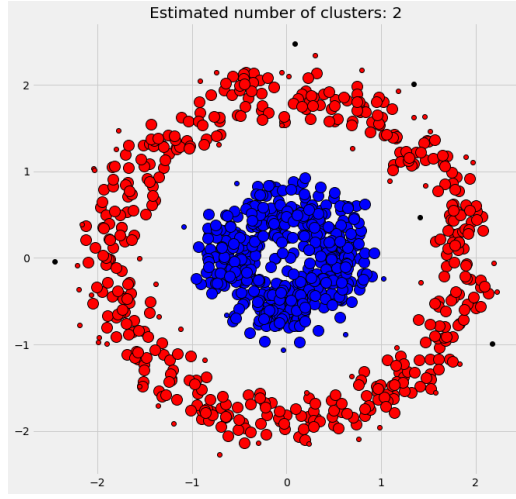


FIGURE 2.4 – Clustering par approche basée sur la densité

2.2.4.3 Approche hiérarchique

Il s'agit de construire une hiérarchie sur les données (voir figure 2.5). Dans ce cas, une classe peut être contenue dans une classe ou disjointe. Deux méthodes existent pour cela : méthode ascendante ou méthode descendante.

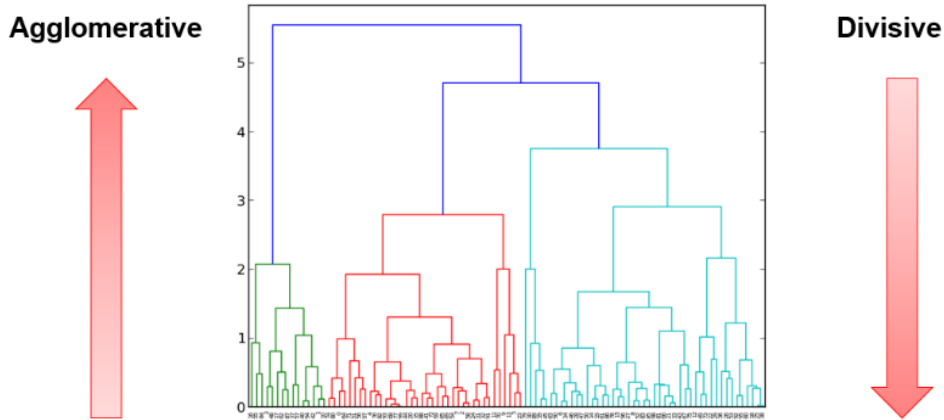


FIGURE 2.5 – Clustering par approche hiérarchique

- Ascendante (agglomerative) : chaque point des données est considéré comme un cluster distinct. Ensuite, en utilisant une métrique de distance particulière, la proximité entre deux points est calculée et les paires les plus proches sont réunies en un seul cluster. Ce processus se poursuit de manière itérative, jusqu'à ce que tous les points des données soient combinée pour former un seul cluster.
- Descendante (divisive) : contrairement à la méthode ascendante, on commence par un seul cluster contenant tous les points des données. Par la suite, on les divise en groupes distincts au fur et à mesure que leur distance augmente.

2.2.4.4 Approche basée grille

Cette approche utilise une grille uniforme pour collecter les données, ensuite, effectuent le regroupement sur la grille au lieu de la base de données (voir figure 2.6). Les performances de cette approche dépendent de la taille de la grille.

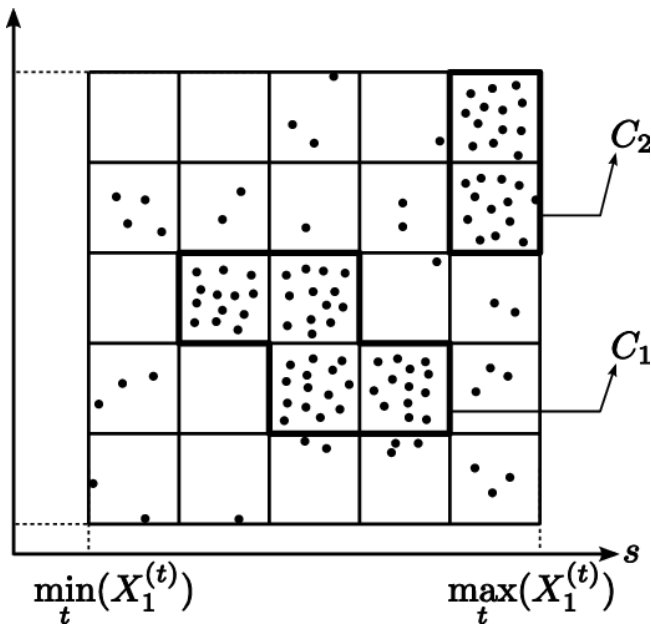


FIGURE 2.6 – Clustering par approche basée grille

2.2.4.5 Approche basée sur les modèles

Les algorithmes basés sur des modèles utilisent de nombreux modèles statistiques ou mathématiques prédéfinies pour former des clusters. Le nombre de clusters peut être pré-spécifié, bien que ce ne soit pas nécessaire dans certains cas. Ces algorithmes fonctionnent sur le mélange de probabilités sous-jacentes et crée des clusters sur la base de celle-ci. Une bonne visualisation pour voir la différence entre cette approche et les autres est la figure 2.7. Un exemple d'algorithme utilisant cette approche est le modèle mélange gaussien décrit dans la suite.

- Modèle mélange gaussien

"Un modèle de mélange gaussien est un modèle probabiliste qui suppose que tous les points de données sont générés à partir d'un mélange d'un nombre fini de distributions gaussiennes avec des paramètres inconnus"²

Principe de fonctionnement

L'idée est d'estimer les paramètres qui régissent la distribution des données. Il s'agit alors d'estimer la moyenne, la variance et l'amplitude de chaque variable gaussienne qui compose le mélange. Ces paramètres sont optimisés selon le maximum de vraisemblance qui sera défini dans la suite de cet exemple. Dans la pratique, un algorithme particulier est utilisé pour estimer

2. <https://scikit-learn.org/stable/modules/mixture.html>

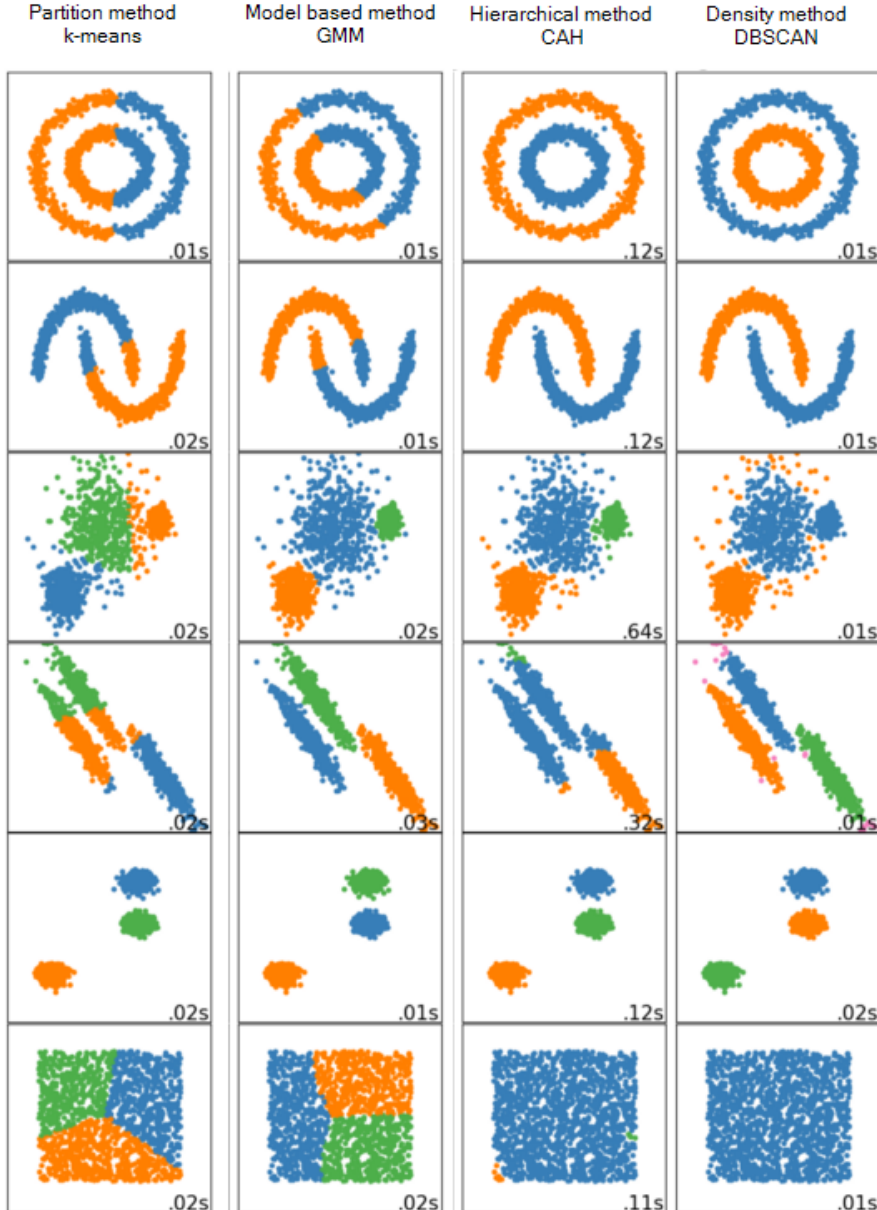


FIGURE 2.7 – Comparaison entre les différentes approches de clustering

le maximum de vraisemblance. Il s’agit de l’algorithme espérance-maximisation qui est illustré par l’algorithme 4. Une fois, ces paramètres sont estimés, on utilise la propriété de Bayes (voir formule 2.7) pour affecter les points aux différents clusters.

Ce principe peut être formalisé de la manière suivante :

Soit $(f_{\theta})_{\theta \in \Theta}$ une famille de densité sur \mathbb{R}^p et une distribution de probabilité sur Θ . On suppose que la densité d’un phénomène observé $(X_i)_{1 \leq i \leq n}$ peut être écrite sous la forme 2.6 :

$$\forall x \in \mathbb{R}^p f(x) = \sum_{k=1}^K \pi_k f_{\theta_k}(x) \quad (2.6)$$

avec $\pi_k \geq 0$ et $\sum_{k=1}^K \pi_k = 1$

Paramètres du mélange : Dans l'équation 2.6, le paramètre π_k est la proportion de mélange. θ_k désigne la position de mélange.

Dans le cas d'un mélange gaussien, on a

$$\theta_k = (\mu_k, \Sigma_k)$$

où μ_k est la moyenne de la k_{eme} composante de mélange et Σ_k est la matrice variance-covariance de la k_{eme} composante de mélange. Une fois, les paramètres de mélange sont estimés, le modèle mélange permet d'estimer la probabilité d'appartenance d'un point en utilisant la formule de Bayes 2.7 :

$$P(C_k|x) = \frac{P(C_k) * P(x|C_k)}{P(x)} = \frac{\pi_k f_{\theta_k}(x)}{\sum_{j=1}^k f_{\theta_j}(x)} \quad (2.7)$$

Grâce à cette formule, on pourra déterminer le cluster auquel appartient chaque point. En l'affectant au cluster ayant une probabilité plus élevée.

Estimation des paramètres : Une estimation efficace de la formule mélange 2.6 est nécessaire pour avoir un bon clustering des données. Pour estimer les paramètres, l'approche utilisée est le maximum de vraisemblance. Dans la pratique, on utilise pour cela l'algorithme d'espérance-maximisation (EM). Avant d'illustrer l'algorithme EM, on doit définir la notion de maximum de vraisemblance.

- la vraisemblance : étant donné un échantillon $X = (X_1, \dots, X_n)$ généré suivant une distribution P_θ , avec θ est un paramètre à estimer. On appelle fonction de vraisemblance.

$$L(X; \theta) = P(X, \theta) = \sum_{i=1}^p \log \left(\sum_{k=1}^g \pi_k f(x_i, \theta_k) \right)$$

Le **maximum de vraisemblance** est l'estimateur $\hat{\theta}$ qui maximise la vraisemblance. Souvent, on préfère de maximiser $\log(L)$ pour des raisons de commodité analytique.

- Algorithme EM : "L'algorithme EM est un algorithme itératif d'estimation paramétrique, en maximisant la vraisemblance."³ cet algorithme a été introduit par Dempster et Laird et Rubin en 1977. L'algorithme en question est illustré dans 4. Il est constitué d'une étape d'initialisation (désigne par Initialize) qui initialise les paramètres de mélanges. Ensuite, deux étapes sont répétées jusqu'à convergence. L'étape Espérance (E-step) qui calcule la probabilité a posteriori selon les paramètres actuels. et l'étape Maximisation (M-step) qui re-estime les paramètres afin de maximiser la vraisemblance.

3. cours Méthodes stochastique et simulation de Madame Bessah à l'esi

Algorithme 2 : Espérance maximisation pour GMM

1 Initialize Initialiser les paramètres μ_k , Σ_k , et π_k

2 E-step Calculer les probabilités a posteriori

$$P(k|x_n) = \frac{\mathcal{N}(x_n|\mu_k, \Sigma_k)}{\sum_{k=1}^K \pi_k \mathcal{N}(x_n|\mu_k, \Sigma_k)} \quad (2.8)$$

3 M-step Re-estimer les paramètres du modèle afin de maximiser la vraisemblance.

$$\begin{aligned} \mu_k^{new} &= \frac{1}{N_k} \sum_{n=1}^N P(k|x_n) x_n \\ \Sigma_k^{new} &= \frac{1}{N_k} P(k|x_n) (x_n - \mu_k)(x_n - \mu_k)^T \\ \pi_k^{new} &= \frac{N_k}{N} \end{aligned} \quad (2.9)$$

4 Likelihood Vérifier si l'algorithme converge en recalculant $\log L$, si ce n'est pas le cas, aller à 2.

2.2.5 Evaluation

L'évaluation d'un clustering est la dernière étape de la conception. Cette étape est primordiale. Il existe principalement 2 types de validation pour un clustering : validation externe, validation interne.

1. **Validation externe** : Elle procède en utilisant des informations externes pour la validation. Cette validation est moins utilisée dans le cas de clustering, mais elle peut être intéressante dans certains cas de comparaisons avec d'autres informations externes. Cette validation est intéressante pour comparer deux clustering par exemple. Plusieurs mesures peuvent être trouvées dans la littérature, les plus utilisés sont l'indice de rand et l'information mutuelle.

- Indice de Rand : Étant donné une affectation réelle des données en clusters et un clustering obtenu en appliquant un algorithme de clustering, un indice de rand permet de mesurer la similarité entre ces deux clustering en ignorant les permutations. Une variante de cet indice est l'indice de rand ajusté. Un indice de rand élevé implique que les deux clustering sont très similaires. Cet indice a tendance à pénaliser les faux négatifs et les faux positifs.
- Information mutuelle : Étant donné une affectation réelle des données en clusters et un clustering obtenu en appliquant un algorithme de clustering, l'information mutuelle permet de mesurer l'agrément entre ces deux affectations en ignorant les permutations. Deux versions existent de cette métrique : information mutuelle normalisée (NMI) et information mutuelle ajustée (AMI). La première version NMI est de loin la plus utilisée. Contrairement à l'indice de rand, NMI utilise la théorie de

l'information pour calculer l'agrément entre deux clustering. De plus, NMI peut être calculer sur des clustering ayant un nombre différent de clusters.

2. **Validation Interne :** Cette validation permet d'avoir la qualité de clustering sans utiliser des informations externes. Elles sont principalement basées sur deux concepts : la cohésion et la séparation. La cohésion est calculée dans chaque cluster alors que la séparation est calculée entre les clusters. Un bon clustering est un clustering qui maximise la séparation inter-clusters et la cohésion intra-clusters. Parmi les métriques les plus répandues, on trouve Sum Squared Error (SSE) pour la cohésion (voir formule 2.10) et Between group Sum squared error (SSB) pour la séparation (voir formule 2.11).

$$SSE = \sum_{x \in C_i} d(c_i, x)^2 \quad (2.10)$$

$$SSB = \sum_{k=1}^K m_i d(c_i, c)^2 \quad (2.11)$$

2.3 La problématique des données manquantes

Dans la vie réelle, les jeux de données contiennent souvent des données incomplètes. Les causes sont diverses allant d'une simple faute de frappe à une défaillance des outils de collecte des données. Ces pertes de données impliquent souvent des pertes considérables d'information. Il est judicieux de connaître les mécanismes qui ont mené à la perte des données ainsi que les méthodes pour résoudre ce problème. Cette section s'intéresse à ce problème en passant en revue les formes d'absence de données ainsi que les méthodes existantes pour travailler sur des données manquantes.

2.3.1 Définition

Les données manquantes ou valeurs manquantes sont les valeurs qui ne sont pas présentes dans le jeu de données [Pawlicki et al., 2021]. Elles se produisent lorsque aucune valeur de données n'est représentée pour une variable pour une observation donnée.

2.3.2 Forme d'absence de données

Selon le mécanisme qui cause la perte des données, on distingue dans la littérature 3 formes d'absences de données : Manquant complètement au hasard (Missed completely at random MCAR), Manquant au hasard (Missed At Randoms) ou manquant non aléatoire (Missed Not At Random MNAR) [Rubin, 1976].

1. **Manquant complètement au hasard (MCAR) :** Dans ce cas, avoir une donnée manquante est indépendant des données (potentiellement inconnues). "Par exemple, pour

les réponses à un sondage, nous sommes dans cette situation (MCAR) si chaque personne interrogée décide de répondre à une question en lançant un dé et en refusant de répondre si la face 1 apparaît"⁴. Une erreur de saisie est aussi un bon exemple de ce cas. Mais il s'agit d'un cas rare en réalité.

2. **Manquant au hasard (MAR)** : Dans ce cas, avoir une donnée manquante est indépendant de sa valeur si elle était présente. Mais il dépend des valeurs d'autres variables observées. Par exemple, dans un jeu de données l'absence de la valeur « age » peut être lié à la variable « sexe ». Dans ce cas, les valeurs des données manquantes peuvent être déduites à partir des cas complets. On peut citer aussi l'exemple d'un baromètre qui tombe en panne lorsque la température est élevée, en connaissant la température, on peut connaître la probabilité que la variable pression soit manquante.
3. **Manquant non aléatoire (MNAR)** : dans ce cas les valeurs manquantes dépendent des valeurs manquantes elle-même. "Par exemple, nous sommes dans cette situation (MNAR) si l'absence de réponse à une question dépend de la catégorie socioprofessionnelle de la personne interrogée et le sondage n'inclut aucune question sur la catégorie socioprofessionnelle (ou d'autres variables permettant de la prédire)." ⁵

2.3.3 Méthodes pour la gestion des valeurs manquantes

Connaissant les formes d'absence de données, la recherche des solutions est nécessaire pour résoudre ce problème. On a dit que le cas MCAR est peu fréquent en réalité et que dans le cas MNAR, il est délicat de compléter les données. Une approche envisageable est d'inclure le maximum de variables qui ont un potentiel d'expliquer les valeurs manquantes. En utilisant cette approche, se retrouver dans un cas MAR est plus probable que MNAR.

À cette étape, gérer les données manquantes est envisageable. Plusieurs méthodes existent dans la littérature pour gérer les données manquantes. On distingue des méthodes par suppression (analyse de cas complet) et des méthodes par imputation.

2.3.3.1 Analyse de cas complet (CCA)

Il s'agit de l'approche la plus populaire. Elle utilise uniquement les points de données qui sont complètes. Cela signifie que si un enregistrement contient des valeurs manquantes celui-ci est supprimé. La méthode est appelée aussi "Suppression par liste".

Bien que ce soit une méthode facile, elle peut être nocive sur les données : ignorer des observations manquantes peut diminuer de façon significative la qualité de modèle. De plus, si on a des classes déséquilibrées, réduire le nombre d'observations pour la classe la plus rare peut amener à un nombre insuffisant d'observation ou même à la disparition de cette classe. La taille

4. <https://cedric.cnam.fr/vertigo/Cours/ml/coursDonneesManquantes.html>

5. <https://cedric.cnam.fr/vertigo/Cours/ml/coursDonneesManquantes.html>

de l'ensemble de données et la pertinence des attributs doivent être évaluées avant de tenter la suppression. Cette option reste envisageable si la forme de l'absence des données est MCAR.

2.3.3.2 Imputation

Il est intéressant d'estimer les données manquantes pour compléter des observations incomplètes, surtout dans le cas MAR. Il existe plusieurs méthodes pour compléter les données par imputation.

1. **Imputation simple** : dans ce cas, les valeurs manquantes sont prédites à l'aide des valeurs observées. Deux stratégies existent pour l'imputation simple : substitution par une valeur fixe et substitution par des mesures de tendance centrale.
 - (a) Substitution par une valeur fixe : la plus simple est de choisir une valeur fixe (par exemple 0) pour compléter les données manquantes. Cependant, le choix de la valeur ne doit pas être arbitraire. Deux autres méthodes sont envisageables selon le contexte : utiliser la dernière valeur observée dans le cas des observations qui évolue dans le temps et utiliser la pire valeur observée (exemple de baromètre cité précédemment).
 - (b) Substitution par des mesures de tendance centrale : c'est une méthode aussi fréquente que CCA. Il s'agit de remplacer les données manquantes par la moyenne, la médiane ou le mode. Remplacer la valeur manquante par la moyenne signifie prétendre que les valeurs manquantes ressemblent aux valeurs observées. Remplacer par le mode revient à remplacer par la valeur la plus fréquente dans le jeu de données. Cette option est envisagée dans des données catégorielles. Cependant, dans le cas d'une distribution asymétrique, utiliser la médiane est une meilleure option. L'avantage de ces méthodes est de restituer le jeu de données complet.
2. **Imputation par régression** : l'imputation par régression consiste à considérer la valeur manquante comme une variable dépendante et à utiliser les variables restantes comme caractéristiques pour former un modèle de régression. Cette définition suppose qu'il existe des relations entre les variables observées et les valeurs manquantes.
3. **Imputation par un centre de groupe** : cette méthode suppose que des regroupements naturels existent au sein des données. Il suffit d'utiliser un algorithme de classification automatique (par exemple k-means) sur les données complètes. Puis pour chaque individu à données manquantes calculer la distance au centre de chaque groupe (en tenant compte que des variables renseignées) et finalement remplacer la valeur manquante par la valeur correspondant dans le centre de groupe le plus proche.
4. **Imputation par les K plus proches voisins** : on sépare le jeu de données en un cas complet (appelé donneur) et un cas avec des données manquantes (appelé receveur). Pour chaque point de l'échantillon receveur, on calcule une mesure de distance entre ce point et les échantillons de donneurs. La méthode choisit les k échantillons donneurs les plus similaires à l'échantillon receveur. La valeur imputée est soit la valeur la plus courante

chez les voisins, soit une moyenne de ces valeurs. Cette méthode est très gourmande en ressources.

5. **Imputation multiple** : l'imputation multiple est une tentative de répondre aux inconvénients de l'imputation simple. L'approche consiste à imputer un certain nombre de fois les données manquantes, cela crée un certain nombre d'ensembles de données. Les résultats de ce processus sont combinés pour le traitement. Plusieurs techniques peuvent être utilisées, par exemple un tirage aléatoire du modèle d'imputation et ensuite imputé avec ce modèle.

D'autres méthodes existent pour gérer les données manquantes, celles-ci seront vues dans le cadre de la prochaine section en faisant une projection d'utilisation sur le clustering.

2.4 Clustering avec données manquantes

Les valeurs manquantes sont un problème important en clustering. Souvent, les jeux de données contiennent des valeurs manquantes pour différentes causes : des réponses manquantes pendant un sondage, des capteurs défaillant ou autres. La plupart des algorithmes de clustering ne peuvent pas être appliqués sur des jeux de données avec des valeurs manquantes [Poddar and Jacob, 2018]. Les méthodes par suppression d'individus impliquent que ces derniers ne soient pas inclus dans le clustering et la suppression de variable nécessite d'avoir des variables complètes.[Audigier et al., 2021]. Bien que la méthode par suppression soit possible si on a peu de données manquantes, elle n'est pas conseillée quand les données manquantes sont significatives pour le clustering [Chi et al., 2016].

Un certain nombre de travaux se sont intéressé au problème de données manquantes dans le clustering. On peut classer ces travaux en deux stratégies : séparer la phase d'imputation et la phase d'analyse, ou bien utiliser des méthodes plus sophistiquées pour inclure la gestion des données manquantes pendant l'exécution de l'algorithme. Dans ce qui suit, nous passerons en revue certains travaux.

2.4.1 Imputation et analyse séparées

[Audigier et al., 2021] s'intéresse à utiliser l'imputation multiple dans le cadre de clustering. L'avantage avec l'imputation multiple est qu'on peut séparer l'étape d'imputation et l'étape d'analyse, cela est intéressant dans le sens où n'importe quel algorithme de clustering peut être appliqué après l'imputation. L'inconvénient est que cela peut mener à un problème de non-convivialité. La convivialité est l'adéquation de modèle utilisé par celui qui impute et celui utilisé par l'analyste.

2.4.2 Imputation et analyse regroupées

Ces travaux proposent des algorithmes de clustering qui s'applique directement sur des données manquantes, c.-à-d. aucune étape de prétraitement n'est nécessaire.

K-means est de loin l'algorithme par partitionnement qui a eu la grande part des études. Parmi les travaux qui se sont intéressé à cette méthode : [Wagstaff and Laidler, 2005]. Ces derniers ont proposé une version de k-means augmenté pour prendre en compte les valeurs manquantes dans les applications d'astronomie.

Des travaux plus récents [Chi et al., 2016] introduisent la méthode populaire k-pods. Cette dernière est une adaptation de k-means aux données contenant des valeurs manquantes. Il s'agit d'une reformulation de problème d'optimisation en termes des données manquantes puis de le résoudre avec l'algorithme majoration-minimisation pour identifier des clusters qui sont en accord avec les données observées. Cette méthode conserve toutes les informations dans les données et évite de s'engager dans des hypothèses de distribution sur les modèles d'absences. L'idée est de sauter les valeurs manquantes et minimiser la fonction objectif uniquement sur les données observées. Le problème d'optimisation devient donc :

$$\min \sum_{k=1}^K \sum_{\substack{ij, j \in C_k \text{ et } i \in \Omega}} (x_{ij} - c_{kj})^2$$

où Ω est l'ensemble des valeurs observées. Pour minimiser cette fonction, on utilise un algorithme de majoration-minimisation. Ce dernier consiste à identifier le minimum de la fonction par des minimisations successives d'approximations majorantes. Il est à souligner que l'algorithme commence par une étape d'initialisation et le résultat final dépend fortement de cette initialisation.

[Wang et al., 2019] reformule le problème de k-means avec un problème d'optimisation qui prend en compte les valeurs manquantes. Dans ces travaux, on essaie d'optimiser trois variables : la matrice des données X , la matrice d'affectation H , et les centres de clusters μ_c . En imposant des contraintes sur X , le problème d'optimisation devient :

$$\min_{H, \{\mu_c\}_{c=1}^k, X} \sum_{i=1}^n \sum_{c=1}^k H_{ic} \|x_i - \mu_c\|^2$$

Des contraintes sur les valeurs observées sont ajoutées, ce qui rend le problème d'optimisation plus difficile. Pour le résoudre, les auteurs propose d'utiliser un algorithme d'optimisation à 3 étapes. Chaque variable est optimisé en connaissant les deux autres variable : Optimiser H en connaissant X et μ , optimiser μ en fixant H et X , optimiser X en fixant μ et H . Les données manquantes sont ainsi estimé dynamiquement.

Dans les algorithmes basés sur les modèles, le modèle de mélange gaussien a eu la plus grande partie des études. [Wilson, 2015] a adapté l'étape M de l'algorithme EM pour gérer des données manquantes. Dans ces travaux les données sont supposées multivariée, quantitative

et continue. Dans des travaux plus récents, [Serafini et al., 2020] propose deux méthodes pour entraîner un GMM en utilisant la méthode "Monte Carlo Expectation Maximization" (MCEM) et Contrairement aux travaux précédent l'imputation est faite durant l'étape E de l'algorithme EM. Il s'agit d'adapter la formule de vraisemblance pour approximer les valeurs manquantes en utilisant la méthode de Monte Carlo.

[Marbac et al., 2020] propose une nouvelle approche, appelé ignorable-GMM. Cette approche est une adaptation du modèle de mélange gaussien aux jeux de données ayant des valeurs manquantes de la forme MAR. Le log-vraisemblance devient alors

$$L(X; \theta) = \sum_{i=1}^p \log \left(\sum_{k=1}^g \pi_k \prod_{j \in O_i} f(x_{ij}, \theta_{kj}) \right)$$

Le paramètre est estimé en maximisant cette log-vraisemblance en utilisant l'algorithme Espérance-maximisation. Le reste de l'algorithme est identique à GMM standard.

[Dinh et al., 2021] propose une solution k-CMM "Clustering mixed numerical and categorical data with missing values". Cette solution propose un clustering avec des données manquantes dans le cas des données catégorielles et les données continue. La solution proposée contient 3 phases : initialisation, imputation et clustering. L'initialisation consiste à séparer le jeu de données suivant le type des attributs et suivant le type des données (manquantes ou pas). Pour la partie imputation, il utilise une méthode par arbre de décision pour construire un arbre pour chaque attribut manquant. Le clustering utilise l'algorithme "kernel-density estimation". Ce dernier est un algorithme qui utilise les probabilités et qui permet à l'interprétation des centres de cluster pour les attributs catégoriques d'être cohérente avec l'interprétation statistique des moyennes de cluster pour les attributs numériques.

2.5 Analyse des travaux existants

Le problème de données manquantes n'est pas récent. Les formes d'absence de données ont été classé pour la première fois en 1976. Dans le cas de clustering, les limites des méthodes classiques sont vite ressentie ce qui a mené à étudier le problème de clustering en l'associant au problème de données manquantes.

Certains travaux se sont intéressés à reformuler le problème d'optimisation combinatoire lié à ces algorithmes tel que dans [Wang et al., 2019]. Dans d'autres travaux, il s'agissait plutôt d'inclure une étape d'imputation dynamique dans une étape de l'algorithme standard comme il a été fait par [Dinh et al., 2021]. Une autre approche est de séparer l'imputation et le clustering. Bien que les méthodes d'imputation simple ne sont pas les plus adéquates au clustering, les méthodes d'imputation multiple ont été vu par [Audigier et al., 2021] et des résultats meilleurs ont été constaté.

Il n'est pas aisé de comparer les travaux recensés, car ces derniers s'intéressent à des mé-

thodes différentes et à des jeux de données différents. De plus, les hypothèses sur la forme d'absence et le taux d'absence diffèrent d'un travail à un autre. Cependant, les métriques utilisées sont presque les mêmes : Rand Score et NMI. Par exemple, on remarque que les travaux de [Chi et al., 2016] et [Wang et al., 2019] se sont intéressé au jeu de données Wine et le Rand score a été plus élevé dans les derniers, mais cette comparaison n'a pas vraiment de sens, car le taux d'absence des données est différent.

Les jeux de données les plus utilisés dans le cas de données manquantes sont : Iris, Wine, Glass, Ovarian et Breast Cancer. Il s'agit de supprimer des valeurs selon le mécanisme de pertes des données et étudié la capacité de modèle à estimer les bonnes valeurs ou à produire un clustering adéquat sans prendre en compte ces valeurs. Cependant, d'autres jeux de données avec des données manquantes à la base ont été utilisé. Le résultat de clustering sur ces différents jeux de données sont lié principalement à la nature de ces derniers et à la méthode utilisée.

2.6 Conclusion

Dans ce deuxième chapitre, nous nous sommes intéressé au cœur de notre sujet qui est le clustering avec des données manquantes.

Dans un premier temps, nous avons vu que le clustering a un intérêt bien visible dans la vie réel et cela a été vu à travers des applications concrètes. Ensuite, le clustering a été vu comme une catégorie d'algorithmes qui peuvent utiliser plusieurs approches. Les approches par partitionnement, les approches hiérarchiques, basées sur la densité, basée sur les grilles et les approches par modèles sont les principales approches de clustering. Nous avons vu que choisir une approche passe par tout un processus de conception allant de la visualisation des données à la validation de l'algorithme.

Dans un deuxième temps, nous avons vu que le problème des données manquantes est un problème assez récurrent dans la vie réel et que les approches de clustering tels qu'elles sont proposé ne prennent pas en considérations cette réalité. Nous avons donc étudié les différentes approches pour faire face à ce problème. En constatant que l'utilisation des approches classiques de gestion des données manquantes possèdent plusieurs limites, on a étudié les travaux qui se sont intéressés au problème de données manquantes dans le cadre de clustering. Ces travaux ont été séparés en deux approches : celle qui impute les données indépendamment de la méthode de clustering. Et celle qui propose des algorithmes de clustering qui prennent en compte ce problème directement dans les algorithmes de clustering. La première approche a comme avantage que n'importe quel algorithme de clustering peut être appliqué, mais souffre principalement de problème de non-convivialité. Tandis que la deuxième approche ne nécessite pas de phase de prétraitement.

Chapitre 3

Chiffrement homomorphe et clustering

3.1 Introduction

Plusieurs techniques ont été explorée dans le cadre de la préservation de la vie privée. Le chiffrement homomorphe reste parmi les techniques ayant un potentiel important dans ce domaine. Ce concept n'est pas nouveau, en effet, il a été introduit pour la première fois en 1978. mais Jusqu'à 2009, il ne permettait pas d'effectuer n'importe quel opération. L'avènement de Chiffrement complètement homomorphe a été un grand événement de la dernière décennie. En effet, ce type a mis fin au limite des schémas de chiffrement homomorphe existant jusqu'ici.

L'utilisation de ce chiffrement dans le clustering a été vite exploré et des travaux se sont intéressés à ce dernier. Cependant, des nouveaux défis sont apparus, les temps d'exécution offerts par cette technologie sont loin d'être applicable dans la vie réelle. De plus, Bien que le chiffrement complément homomorphe est appelé ainsi, dans la réalité, il ne permet d'effectuer que deux types d'opérations : la multiplication et l'addition. Dans la théorie, ces opérations suffisent amplement pour effectuer n'importe quel type d'opération. Cependant, le cout élevé induit par les opérations de clustering fait que les solutions proposées ne peuvent pas être appliquée en réalité.

Avant d'étudier le clustering dans le contexte de chiffrement homomorphe, des connaissances de base et avancés sur ce dernier sont nécessaires. Dans la suite, nous nous intéressons au chiffrement homomorphe dans son ensemble puis nous allons voir l'utilisation de ce concept dans le clustering.

3.2 Chiffrement homomorphe

Comme déjà vu dans le chapitre 1, le chiffrement homomorphe est l'un des outils important pour faire des calculs sur des données chiffrées. Dans cette section, on s'intéresse principalement au chiffrement homomorphe, son histoire, ses types ainsi que son état de l'art.

3.2.1 Définition

Le concept de chiffrement homomorphe a été introduit pour la première fois par Rivest, Adleman, Dertouzos[Rivest et al., 1978a]. Il s'agit d'un chiffrement qui permet de faire des calculs sur des données chiffrées sans les décrypter. Le résultat de ces calculs sur les données chiffrées donne le chiffré du résultat des mêmes opérations sur les données non chiffrées.

3.2.2 Schéma de chiffrement homomorphe

Selon [Acar et al., 2017], Un schéma de chiffrement homomorphe ou un cryptosystème homomorphe est caractérisé par 4 opérations : Génération des clés (KeyGen), chiffrement (Encrypt), Déchiffrement (Decrypt) et Évaluation (Evaluate). Les opérations KeyGen, Encrypt, Decrypt sont exactement les opérations présentes dans un cryptosystème classique et elles sont expliquées dans la suite :

1. **KeyGen** : c'est l'opération qui génère la clé secrète et la clé publique dans le cas de chiffrement asymétrique ou bien d'une clé unique dans le cas de chiffrement symétrique.
2. **Encrypt** : c'est l'opération de transformer un message en clair vers un message secret.
3. **Decrypt** : c'est l'opération de restitution de message en clair à partir de message chiffré.
4. **Evaluate** : il s'agit d'une opération spécifique au chiffrement homomorphe. Elle prend comme entrée les messages chiffrés et retourne un chiffré correspondant au résultat des calculs effectué sur les données en entrée.

3.2.3 Types de chiffrement homomorphe

Plusieurs classifications existent dans la littérature, on distingue deux principales (voir figure 3.1). La première est le classement selon le nombre d'opérations pouvant être effectué par le chiffrement homomorphe. Ce cas est illustré dans [Acar et al., 2017] et on va le détailler dans la suite de cette partie. Une autre classification est basée sur les concepts mathématiques associés à chaque chiffrement, MKHININI dans sa thèse "Implantation matérielle de chiffrement homomorphe". [Mkhinini, 2017] parle de 3 familles : Schémas basés sur les réseaux, Schémas basés sur les entiers, Schémas basés sur les problèmes LWE(Learning with Error) ou RLWE (Ring LWE).

Dans cette partie, on va illustrer les types de chiffrement homomorphe. Les types sont exposés dans un ordre chronologique de leurs apparitions dans l'histoire.

3.2.3.1 Chiffrement partiellement homomorphe

Le chiffrement partiellement homomorphe (ou PHE pour Partially homomorphic encryption) a été introduit pour la première fois par Rivest en 1978 sous le nom de "privacy homomorphism". Il permet l'application d'un seul type d'opération, soit multiplication ou addition,

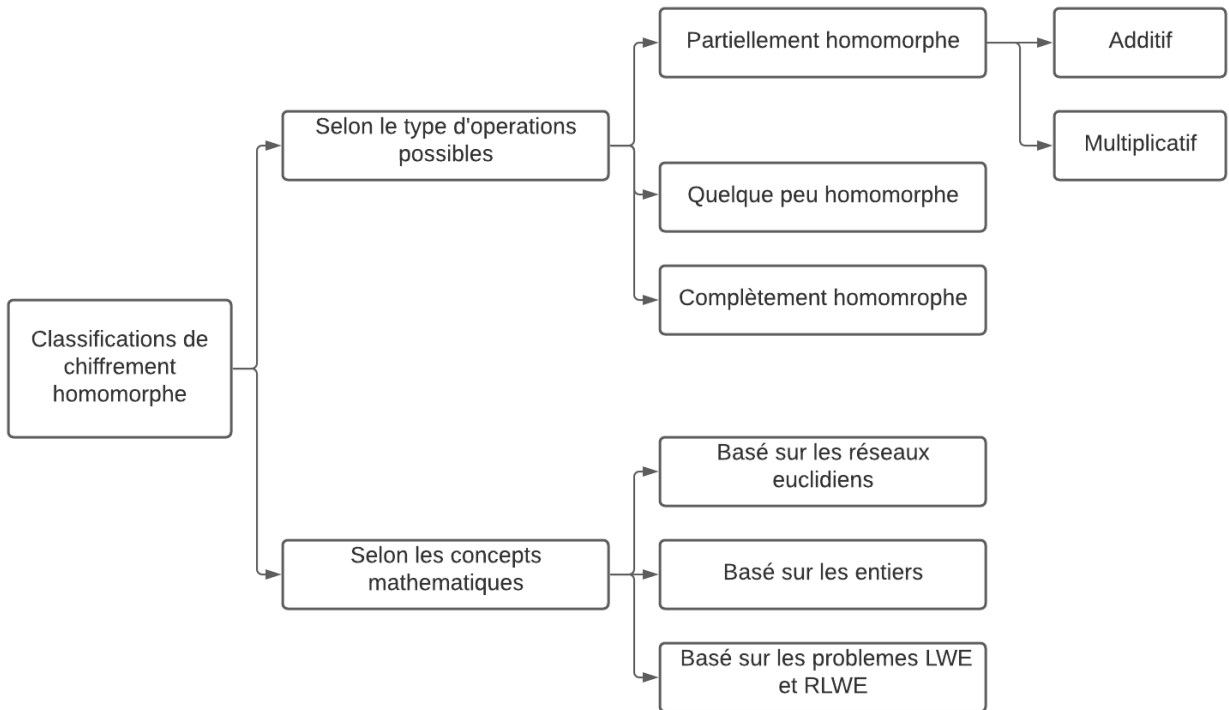


FIGURE 3.1 – Classifications des types de chiffrement homomorphe

n fois sur des données chiffrées. C'est-à-dire, il applique la multiplication ou l'addition exclusivement sans limites.

RSA [Rivest et al., 1978b], [Goldwasser and Micali, 1982], [ElGamal, 1985], [Benaloh, 1994], [Okamoto and Uchiyama, 1998] sont des exemples de schémas partiellement homomorphes. Selon l'opération effectuée, on distingue deux sous-types : chiffrement homomorphe additif et chiffrement homomorphe multiplicatif. Les exemples exposés dans cette partie sont tirés de [Alharbi et al., 2020]

1. **Chiffrement homomorphe multiplicatif** : Un schéma de chiffrement homomorphe est dit multiplicatif si

$$\forall m_1, m_2 \in M, E(m_1 * m_2) = E(m_1) * E(m_2) \quad (3.1)$$

avec E est la fonction de chiffrement, M est l'ensemble des messages en clair.

Un exemple de ce chiffrement est le chiffrement RSA et El Gamal.

— **Chiffrement RSA** : le chiffrement RSA est un chiffrement à clé publique. Il a été mis en place par [Rivest et al., 1978b] et il a pris les initiaux de ses créateurs. Dans ce qui suit on illustre le principe de chiffrement RSA.

(a) Génération des clés :

- sélectionner p et q deux nombres premiers.
- calculer $n = p \cdot q$ and $\Phi(n) = (p - 1)(q - 1)$.
- sélectionner e de telle sorte que $gcd(e, \Phi(n)) = 1$.

- déterminer d tel que : $e.d \equiv 1 \pmod{\Phi(n)}$.
 - la clé publique est $\text{pk} = (e, n)$ et la clé privée $\text{sk} = (d)$
- (b) Chiffrement : calculer $c = E(m) = m^e \pmod{n}$
- (c) Déchiffrement : calculer $m = D(E) = c^d \pmod{n}$
- (d) La propriété homomorphe :

Le chiffrement RSA est homomorphe suivant la multiplication. Soit $m_1, m_2 \in M$

$$E(m_1) * E(m_2) = [m_1^e \pmod{n}] * [m_2^e \pmod{n}] = (m_1 * m_2)^e \pmod{n} = E(m_1 * m_2)$$

2. Chiffrement homomorphe additif

Un schéma de chiffrement homomorphe est dit additif si

$$\forall m_1, m_2 \in M, E(m_1 + m_2) = E(m_1) + E(m_2) \quad (3.2)$$

avec E est la fonction de chiffrement, M est l'ensemble des messages en clair. Comme exemple le cryptosystème de Pallier en 1999.

— **Chiffrement Pallier** : le chiffrement de pallier est un chiffrement à clé publique. Il a été mis en place par [Paillier, 1999], d'où son nom.

- (a) Génération des clés :

- Choisir deux nombres p et q premiers avec $\gcd(pq, (p-1)(q-1)) = 1$
- calculer $n = pq$ et $\lambda = \text{lcm}(p-1, q-1)$ tel que PPCM est le plus petit multiplicateur en commun
- choisir un entier $g \in Z^*$ tel que $\text{pgcd}(L(g^\lambda \pmod{n^2}), n) = 1$ avec $L(u) = (u-1)/n$
- la clé publique est $\text{pk} = (n, g)$ et la clé privée est $\text{sk} = (p, q)$

- (b) Chiffrement :

- sélectionner un nombre entier non nul $r \in Z^*$
- calculer $c = E(m) = g^m r^n \pmod{n^2}$

- (c) Déchiffrement : Calculer $m = D(E) = (L(c^\lambda \pmod{n^2}) / (L(g^\lambda \pmod{n^2}))$

- (d) La propriété homomorphe :

$$\begin{aligned} E(m_1) * E(m_2) &= [g^{m_1} r_1^n \pmod{n^2}] * [g^{m_2} r_2^n \pmod{n^2}] \\ &= g^{m_1+m_2} (r_1 * r_2)^2 \pmod{n^2} \\ &= E(m_1 * m_2) \end{aligned} \quad (3.3)$$

3.2.3.2 Chiffrement quelque peu homomorphe

Le chiffrement quelque peu homomorphe, ou somewhat homomorphic encryption (SWHE) permet de faire des calculs sur différents types d'opérations avec un nombre limité de fois. Plusieurs exemples de ce type ont vu le jour. Le premier schéma praticable est le schéma BGN qui a été développé par Benh-Goh-Nissim [Boneh et al., 2005]. Ce dernier évalue une 2-DNF sur des données cryptées et il permet d'effectuer un nombre illimité d'additions, mais

juste une multiplication. Dans l'article [Acar et al., 2017], le fonctionnement de BGN et d'autres algorithmes sont expliqués. Dans cette partie, nous choisissons d'illustrer ce type de chiffrement par le chiffrement proposé dans [van Dijk et al., 2010]. Ce schéma est basé sur les entiers ce qui le rend simple à expliquer. Ce cryptosystème a été cité dans l'état de l'art effectué par [Acar et al., 2017]. Il s'agit de la version symétrique.

— **Chiffrement DGVH10 :**

1. Chiffrement :
 - Choisir deux grands nombres p et q aléatoires et premiers. p étant la clé privée à utiliser
 - Choisir un petit nombre r tel que $r << p$
 - Un message $m \in \{0, 1\}$ est chiffré de la manière suivante :

$$c = E(m) = m + 2r + pq$$

2. Déchiffrement : Le message chiffré c est déchiffré de la manière suivante :

$$m = D(c) = (c \mod p) \mod 2$$

3. Propriété homomorphe :

Le déchiffrement ne marche que si $m + 2r < p/2$. À force d'effectuer des opérations sur les données chiffrées le terme r appelé bruit devient plus grand ce qui rend le nombre d'opérations limité à un certain seuil. Les propriétés homomorphes de ce chiffrement :

— Addition :

$$E(m_1) + E(m_2) = m_1 + 2r_1 + pq_1 + m_2 + 2r_2 + pq_2 = (m_1 + m_2) + 2(r_1 + r_2) + (q_1 + q_2)p$$

Si la propriété $m + 2r < p/2$ avec $m = m_1 + m_2$ et $r = r_1 + r_2$ est respectée alors le message peut être déchiffré. puisque $r_i << p$ le bruit augmente lentement et plusieurs additions sont possibles

— Multiplication :

$$E(m_1)E(m_2) = (m_1 + 2r_1 + pq_1)(m_2 + 2r_2 + pq_2) = m_1m_2 + 2(m_1r_2 + m_2r_1 + 2r_1r_2) + kp$$

Si la propriété $m + 2r < p/2$ avec $m = m_1m_2$ et $r = m_1r_2 + m_2r_1 + 2r_1r_2$ est respecté alors le message peut être déchiffré. Cependant, dans ce cas le bruit augmente exponentiellement ce qui mit plus de restriction sur le nombre de multiplications.

3.2.3.3 Chiffrement complètement homomorphe

Le chiffrement complètement ou totalement homomorphe, ou fully homomorphic encryption en anglais (FHE), combine les avantages de PHE et SWHE ce qui permet de faire un nombre d'opérations sans limites[Alharbi et al., 2020]. Ce chiffrement a été proposé par Craig Gentry en 2009. Un article récent [Wood et al., 2020] explique le travail de Gentry sans rentrer dans les détails mathématiques. Le schéma proposé par Gentry est basé sur une notion algébrique appelée "lattice" ou treillis en français. Il construit un chiffrement totalement homomorphe à partir d'un chiffrement quelque peu homomorphe.

Le problème avec SWHE est que chaque opération sur les données chiffrées ajoute un bruit à ces dernières et si le bruit dépasse un certain seuil, il est impossible de restituer le message en clair. Pour cela, Gentry introduit une technique appelée "bootstrapping". Cette dernière permet de réduire l'accumulation de bruit dans les données chiffrées. Cependant, le bootstrapping ne peut être appliqué que sur des schémas SWHE dit "bootstrappable". Ce genre de schémas est un schéma utilisant la notion de bruit et dont la profondeur de circuit est petite. Donc avant d'effectuer le bootstrapping il faut rendre le schéma bootstrappable. Cela peut être fait en utilisant le "squashing".

- squashing : Écrasement en français, c'est une méthode pour réduire la complexité de l'algorithme de déchiffrement afin de réduire la profondeur multiplicative de circuit de déchiffrement.[Feron, 2018]
- bootstrapping : Dans la thèse de [Mkhinini, 2017], le bootstrapping est défini comme une technique qui permet rafraîchir le niveau de bruit en le ramenant au niveau d'un message fraîchement chiffré. Il s'agit de produire un nouveau chiffré c' avec un bruit réduit et c' déchiffre vers m . Cette opération est effectuée dans le domaine homomorphe. (c'est-à-dire sans déchiffrer le premier message).

3.2.4 Chiffrement complètement homomorphe

Après l'introduction de Gentry pour un schéma complètement homomorphe en 2009, le monde de FHE a connu plusieurs innovations en se basant sur différents fondements théoriques [Wood et al., 2020]. Dans ce qui suit, on va définir dans un premier temps quelques concepts théoriques puis nous allons survoler les différentes générations de FHE. Et finalement nous allons parler de passage de bootstrapping standard vers le bootstrapping programmable.

3.2.4.1 Concepts de base :

La sécurité de chiffrement homomorphe se base sur certains concepts et problèmes jugés difficiles. Dans ce qui suit nous allons définir certains de ces concepts qui nous seront utiles dans la suite.

1. Lattice : selon Larousse un treillis en français, "Ensemble ordonné dans lequel tout couple

- d'éléments possède toujours une borne supérieure et une borne inférieure". En d'autres termes, Un élément L d'un treillis est une combinaison de vecteurs indépendants linéairement $\{a_1, a_2, \dots, a_n\}$ de base B, L est formulé comme suit : $\sum_{j=0}^n b_j x v_i, v_i \in \mathbb{Z}$
2. Approximate GCD problem : Il s'agit d'un problème NP difficile. Il s'agit de trouver le plus grand diviseur en commun approximé. Étant donné un ensemble de m entiers de la forme $x_i = q_i p + r_i$ avec $q_i, r_i \in \mathbb{Z}$ et q_i, r_i sont choisis aléatoirement selon une distribution donnée. Il s'agit de trouver p.[Black, 2014]
 3. Learning with errors (LWE) : C'est un problème calculatoire difficile. il s'agit de retrouver un vecteur s sachant qu'on possède suffisamment d'échantillons sous la forme $(a_i, a_i \cdot s + e_i)$ avec $a_i \cdot s$ est le produit scalaire de a et s , e_i est tiré aléatoirement selon une distribution appropriée[Black, 2014]
 4. Ring learning with errors (RLWE) : Il s'agit d'une version de LWE plus applicable. Il est construit sur l'arithmétique des polynômes.

3.2.4.2 Générations de FHE

Le chiffrement complètement homomorphe a connu plusieurs générations de schémas. Ces schémas se basent sur les concepts de bases définis dans la section précédente. Dans la littérature, certains parlent de trois générations telles que [Minelli, 2018] et d'autres parlent sur quatre [Nokam Kuate, 2018].

1. **Première génération :** Les schémas sont basés sur les travaux de Gentry en se basant sur les lattices ou le problème AGCD.
2. **Deuxième génération :** Les travaux de [Brakerski and Vaikuntanathan, 2011] marque le début de la seconde génération, dans ces travaux, ils ont construit un schéma (nommé BV) qui est basé sur le problème LWE. Ce schéma a introduit deux nouvelles notions [Mkhnini, 2017] : la ré-linéarisation qui permet de se baser sur le problème de LWE au lieu de la complexité des idéaux utilisé dans le schéma de Gentry. Et la réduction de module qui réduit naturellement la complexité de la fonction de déchiffrement et permet de réduire la taille des chiffrés. Cela permet de s'en passer de la méthode de squashing proposé par Gentry. Plusieurs schémas ont vu le jour après ce schéma, chaque nouveau schéma vise à réduire la taille des paramètres et à augmenter la profondeur multiplicative. BGV [Brakerski et al., 2012] est un schéma de référence dans la seconde génération. Il a introduit une nouvelle méthode de réduction de module. Un autre schéma appartenant à cette génération est le schéma B/FV qui a été crée par [Fan and Vercauteren, 2012], il s'agit d'une amélioration de BGV en réduisant la propagation de bruit et en utilisant le problème de RLWE.
3. **Troisième génération :** Dans cette génération, on se base principalement sur les travaux [Gentry et al., 2013], ces derniers introduisent un nouveau schéma (nommé GSW) qui ne s'appuie plus sur l'étape de ré-linéarisation coûteuse que les schémas précédents GSW utilisaient pour maintenir le bruit bas. Ce schéma est à la base d'un certain

nombre de schémas suivants. Il fournit une approche basée sur un circuit booléen pour FHE [Wood et al., 2020]. Parmi les schémas qui se sont basés sur GSW, on trouve le schéma FHEW proposé par [Ducas and Micciancio, 2015] et le schéma TFHE proposé par [Chillotti et al., 2016]. Le schéma TFHE se base sur les travaux de [Ducas and Micciancio, 2015] et il s'intéresse à améliorer la fonction de bootstrapping qui prend beaucoup de temps dans les versions précédentes de FHE.

3.2.4.3 Du bootstrapping vers le bootstrapping programmable :

Selon [Chillotti et al., 2021], tous les schémas de FHE (connus actuellement) produisent des chiffrés en introduisant la notion de bruit. Le bruit s'introduit pour des raisons de sécurité. Cependant, effectuer des opérations de façon homomorphe fait en sorte que ce bruit augmente. Pour contrôler ce bruit Gentry a introduit la notion de Bootstrapping défini précédemment. L'idée est d'utiliser une clé dite "bootstrapping key" qui n'est rien d'autre que le chiffré de la clé de déchiffrement utilisé principalement. Le processus est illustré dans la figure 3.2

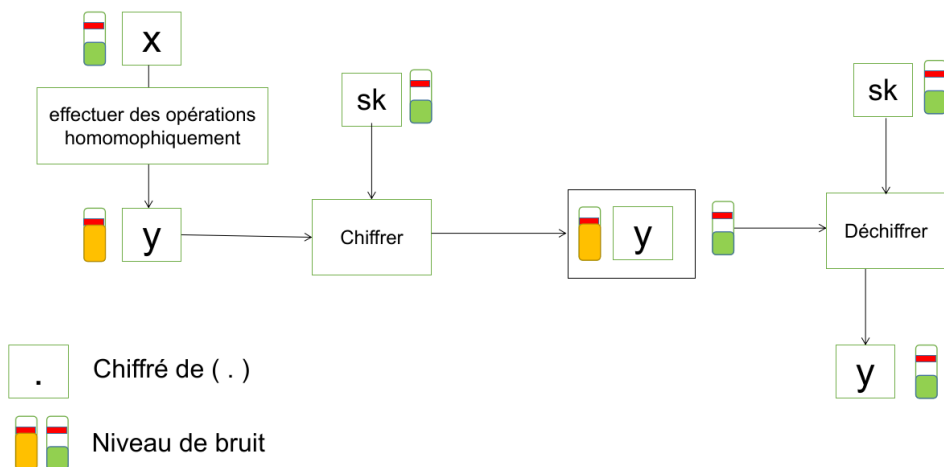


FIGURE 3.2 – Principe de bootstrapping

Dans les mêmes travaux [Chillotti et al., 2021], les auteurs introduisent le concept de Bootstrapping programmable. Ce dernier est défini comme une extension de bootstrapping standard. Cette extension permet de réduire le bruit à son minimum et en même temps d'évaluer une fonction sur le chiffré. Quand la fonction évaluée est la fonction identité, cela coïncide avec le bootstrapping standard. Cela peut être expliqué par le schéma dans la figure 3.3. Le bootstrapping programmable est implémenté par ZAMA.

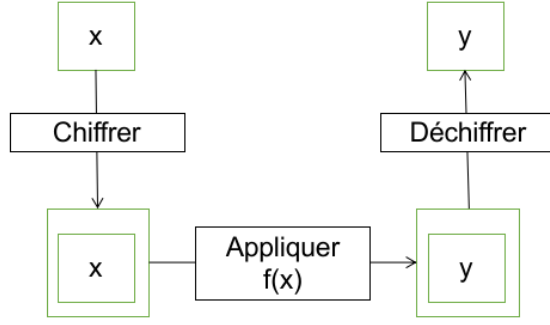


FIGURE 3.3 – Principe de bootstrapping programmable

3.2.5 Implémentations de chiffrement complètement homomorphe

Plusieurs Implémentations existent de chiffrement complètement homomorphe. Une liste des implémentations et outils existe sur github¹. Cette liste est mise à jour régulièrement. Les schémas implémentés dans ces librairies existantes sont quatre : BFV et BGV pour les entiers, CKKS pour les nombres réels et FHEW, TFHE pour les circuits booléens. Parmi cette liste, on sélectionne les bibliothèques suivantes :

1. **Microsoft's Simple Encrypted Arithmetic Library (SEAL)** : Selon la documentation officielle, il s'agit d'une librairie pour le chiffrement homomorphe développé par des chercheurs dans "the Cryptography Research Group" chez Microsoft depuis 2015. Elle est développée en C++. Cette librairie permet juste des additions et des multiplications sur des données entières ou réelles. Les autres opérations telles que les comparaisons ne sont pas prises en compte. Elle est donc utilisée pour performer des calculs dans le but de préserver la confidentialité des données. Dans cette bibliothèque, deux schémas sont implémentés. Il s'agit de schémas BFV et CKKS. Pour les applications qui utilisent des nombres réels tels que les modèles d'apprentissage automatique le schéma CKKS est un bon choix. Pour les applications nécessitant des valeurs exactes, BFV est le seul choix. TenSEAL [Benaissa et al., 2021], Pyfhel, node-seal sont des bibliothèques python, mais basé sur Microsoft SEAL.
2. **IBM's Homomorphic Encryption Library (HElib)** : C'est une bibliothèque open source. Elle est implémentée en C++ et utilise la bibliothèque NTL pour les opérations mathématiques. Elle implémente les schémas BGV et CKKS. Cette bibliothèque offre plusieurs optimisations pour accélérer les calculs, plus précisément les travaux de [Smart and Vercauteren, 2011, Gentry et al., 2012].
3. **Fast Fully Homomorphic Encryption over the Torus (TFHE)** : TFHE est une librairie C/C++ open source pour le chiffrement complètement homomorphe. Elle est implémentée en se basant sur les travaux de [Chillotti et al., 2016]. Elle permet l'évaluation d'un circuit booléen et donc effectuer des calculs sur des données chiffrées sans divulguer

1. <https://github.com/jonaschn/awesome-he>

ces dernières. Cette librairie implémente une variante de GSW et effectue des optimisations issues des travaux de [Ducas and Micciancio, 2014] et [Chillotti et al., 2016].

Pour l'utilisateur, elle peut évaluer un nombre infini de portes logiques implémenté manuellement ou générer par un outil automatisé. Pour TFHE, un circuit optimal est un circuit avec le minimum de porte logique. nuFHE, cuFHE sont des implémentations GPU de TFHE.

4. **HEAAN** : HEAAN est une bibliothèque qui implémente un chiffrement homomorphe qui supporte les nombres à virgule fixe. Elle supporte les opérations entre les nombres rationnels. Le schéma de cette bibliothèque est développé dans l'article "Homomorphic Encryption for Arithmetic of Approximate Numbers" [Cheon et al., 2017]
5. **PALISADE** : Palisade est une bibliothèque en C++ créée par "the New Jersey institute of Technology (NJIT)". Elle implémente plusieurs schémas : BFV, BGV, CKKS, GSW.
6. **Concrete** : Il s'agit d'une bibliothèque implémentée par ZAMA sous le langage Rust. Il s'agit d'une variante de TFHE. Ayant l'avantage de TFHE d'être rapide, elle étend TFHE pour utiliser la notion de bootstrapping programmable et pour exploiter le potentiel de TFHE d'utiliser les nombres réels. Ceci dit que concrete ne se limite pas à des circuits booléens.[Chillotti et al., 2020]

En ajoutant à ses bibliothèques, des compilateurs sont développés pour faciliter l'usage des bibliothèques. Parmi ceux-là, on trouve FHE C++ Transpiler développé par [Gorantala et al., 2021], EVA pour microsoft SEAL[Dathathri et al., 2020].

le tableau 3.1 résume les avantages et les inconvénients de chaque bibliothèque.

Librairie	Point fort	Point faible
SEAL	Bien documentée	limitée dans le nombre de schémas implémenté
HELib	Optimise les calculs	bootstrapping non performant
TFHE	bootstrapping rapide	moins performante sur des tâches simples
HEAAN	supporte les nombres rationnels	Moins documentés
PALISADE	plusieurs schémas sont supportés et elle est Cross-platform.	
Concrete	utilise le bootstrapping programmable et elle est bien documentée	difficulté à estimer les bons paramètres

TABLE 3.1 – Avantages et inconvénients des librairies FHE

3.2.6 Applications

Dans cette section, nous allons nous intéresser aux applications de chiffrement homomorphe dans la vie réelles. Les utilisations sont inspirées des travaux de [Alharbi et al., 2020].

1. **Le vote électronique :** Le vote électronique peut être une meilleure solution comparée au vote traditionnel. Un protocole de vote électronique devrait garantir la confidentialité de vote d'un utilisateur spécifique, et doit permettre à chaque électeur de vérifier que son bulletin de vote se trouve dans le babillard et de garantir que le décompte vient de votant légitime. L'utilisation de chiffrement homomorphe est illustré dans plusieurs travaux ([Aziz et al., 2018], [Shinde et al., 2013], [Anggriane et al., 2016], ...)
2. **Cloud Computing :** L'utilisation de chiffrement homomorphe dans le cloud computing a été revue dans [Geng et al., 2019]. Selon le même article, la sécurité des données sur le cloud est un aspect important. Pour cela, une solution est offerte par le chiffrement homomorphe. Il s'agit de chiffrer les données avant de les déposer sur le cloud et la technologie de chiffrement homomorphe va permettre de rechercher, calculer et compter sur des données chiffrées sur le cloud. L'application de chiffrement homomorphe dans la cloud s'intéresse à 4 aspects principalement :
 - Récupérer des données chiffrées dans le cloud computing
 - Traitement des données cryptées dans le cloud computing
 - Banque de données privées
 - partage de données sur cloud
3. **HealthCare :** Les données médicales sont sensibles, cela inclut les informations personnelles de patient ainsi que tous les traitements et les analyses qu'il subit. Le chiffrement homomorphe offre un outil pour la protection de ces données ce qui permet de conserver la vie privée des patients. Il permet de faire des calcules sur les données sensibles dans un domaine chiffrées et de restituer les résultats chiffrés. Seules les personnes légitimes pourront avoir accès [Alharbi et al., 2020].
4. **Data Mining avec préservation de la vie privée :** Le data mining ou l'exploration des données est un outil de plus en plus utilisé dans le but d'obtenir des données utiles à partir de plusieurs bases de données[Alharbi et al., 2020]. Dans le même article, ils affirment que différents surveys assurent que le chiffrement complètement homomorphe peut être mis en œuvre dans la data mining. Ce chiffrement garantit la confidentialité et l'intégrité des données extraites. Il permet aussi d'effectuer une analyse statistique des données encodées tout en préservant la vie privée et la confidentialité.
5. **Apprentissage automatique :** L'apprentissage automatique préservant la confidentialité offre un ensemble de frameworks pour entraîner et classifier les données sensibles [Wood et al., 2020]. Ces méthodes peuvent avoir plusieurs parties prenantes : le client, le propriétaire du modèle et le service cloud pour effectuer les calculs. Cette application peut être utilisée dans plusieurs domaines tels que la médecine, la génomique, l'agriculture, etc. D'autres utilisations futures sont possibles tel que la blockchain, le traitement de signal.

3.3 Algorithmes d'apprentissage automatique et chiffrement homomorphe

Plusieurs algorithmes d'apprentissage automatique ont été vu dans le contexte de chiffrement homomorphe. Les méthodes examinées sont la régression logistique, Naïve Bayes, les arbres de décision, la machine à vecteur de support, les réseaux de neurones et le clustering non supervisé. Certains de ces algorithmes ont été revus dans [Wood et al., 2020]

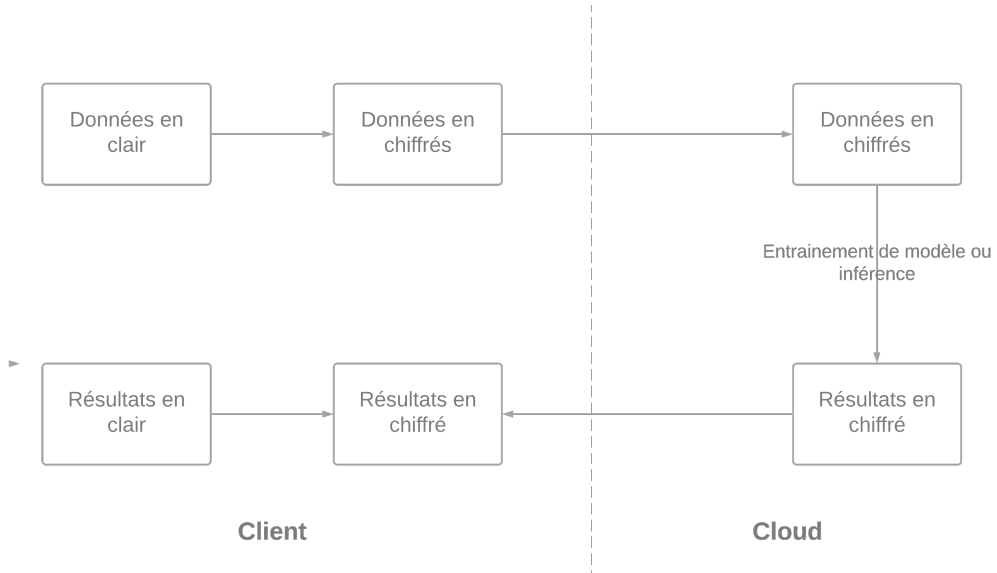


FIGURE 3.4 – Chiffrement homomorphe dans le contexte de l'apprentissage automatique

La régression logistique :

La régression logistique a été implémentée dans le cadre de chiffrement homomorphe dans plusieurs travaux. [Kim et al., 2018] ont implémenté l'entraînement de la régression logistique en utilisant la bibliothèque HEAAN qui utilise le schéma de chiffrement CKKS. Ces derniers ont réussi à avoir un temps raisonnable de 3,6min pour l'entraînement sur des jeux de données de dimensions (300,9) et (1 000,9) et les résultats obtenus sont comparables à des résultats clairs. Ils ont trouvé comment encoder une matrice dans un seul HEAAN ciphertext en utilisant le principe de SIMD (single instruction multiple data).

D'autres travaux existent : [Bonte et al., 2018] ont utilisé FV-NFLib, [Carpov et al., 2019] ont exploré l'entraînement en utilisant TFHE et HEAAN.

Naïve Bayes :

[Bost et al., 2014] ont implémenté un modèle pour la classification d'un point X sans avoir aucune information sur le modèle de classification et sans donner une information sur le point

X. Il s'agit d'un modèle de prédiction privée. Le modèle entraîné est chiffré puis placé sur le cloud. Les auteurs ont formulé le modèle entraîné sous forme de deux tables : la table $P = (P_i)$ avec $P_i = Pr(Y = Y_i)$ et la table T qui est une matrice dont l'entrée est (i, j) correspond au maximum de vraisemblance d'un attribut sachant une classe $T_{i,j} = Pr(X_j|Y = Y_i)$.

Pour calculer la classe qui a la plus grande probabilité, le client et le serveur collabore pour effectuer une série de comparaisons en utilisant un protocole de communication. Le client envoie les probabilités postérieures aléatoirement vers le serveur pour chaque classe. Le but est que le serveur ne connaîtra pas la classe à laquelle appartient la donnée.

Arbres de décision :

On parle de classification privée en utilisant les arbres de décision. Effectuer une classification des données doit cacher la structure de l'arbre de client et les données de client de propriétaire de modèle. Deux approches existent pour cacher la structure d'arbre : convertir l'arbre de décision sous la forme polynomiale ou convertir l'arbre sous forme binaire complète.

Comme pour naïve bayes, pour effectuer des comparaisons de façon privée plusieurs méthodes existent. [Bost et al., 2014] implémente deux schémas partiellement homomorphes pour effectuer la comparaison. D'autres utilisent des protocoles de comparaisons en utilisant le schéma BGV afin d'implémenter des arbres de décision [Sun et al., 2018]. Une autre approche [Khedr et al., 2015] transforme le problème de décision dans chaque nœud en un problème de "word matching" puis effectue des comparaisons en utilisant un protocole de word matching chiffré.

Réseaux de neurones artificiels :

Selon [Wood et al., 2020], le chiffrement complètement homomorphe a été utilisé dans le cadre de classification de données chiffrées en utilisant les réseaux de neurones entraînés en clair. Une nouvelle donnée chiffrée peut être classée en utilisant un modèle entraîné non chiffré ou un modèle avec des paramètres non chiffrés. Dans ce schéma, les données de client sont protégées, mais pas le modèle. Une deuxième approche est de chiffrer et le modèle et les données de client.

Plusieurs travaux se sont intéressés aux réseaux de neurones dans le cadre de chiffrement homomorphe. [Gilad-Bachrach et al., 2016] effectue une classification en utilisant le chiffrement homomorphe en utilisant le schéma BGV. Les auteurs utilisent un modèle entraîné avec des paramètres non chiffrés. Pour adapter les fonctions utilisées dans les réseaux de neurones, les auteurs ont utilisé la fonction d'activation carrée au lieu de ReLU, mais cette fonction n'est pas efficace avec des réseaux de plus de 10 couches. Cette fonction a été utilisée dans l'entraînement et pendant le test. Pour la dernière couche, la fonction sigmoid a été utilisée pendant l'entraînement et elle a été remplacé pendant la phase de test. [Chabanne et al., 2017] ont étendu ces travaux en utilisant une approximation polynomiale de la fonction ReLU.

FHE-DiNN[Minelli, 2018] propose une solution en utilisant le bootstrapping programmable avec la bibliothèque TFHE, cette technique permet de résoudre le problème de l'accumulation de bruit dans les couches d'activation limite la profondeur du réseau. Les travaux cités se sont intéressés aux réseaux de neurones avec des paramètres en clair, le cas avec des données chiffré et un modèle chiffré a été implémenté par [Jiang et al., 2018].

Entraîner un réseau de neurones présente plusieurs challenges : durant l'entraînement, la précision de RN doit être analysée pour introduire les modifications nécessaires sur le modèle. En plus, des calculs trop lourds sont nécessaires. Pour cela, entraîner un modèle sur des données chiffrées doit être efficace dès le premier essaie. [Zhang et al., 2015] a décrit une méthode pour assurer un entraînement sur des données chiffrées, mais cela nécessite le déchiffrement des paramètres pendant l'entraînement, cela évite les calculs lourds, mais nécessite une communication avec le client. D'autres travaux combinent plusieurs techniques afin de contourner ces problèmes.

3.4 Clustering en utilisant le chiffrement homomorphe

Les opérations autorisées dans le chiffrement homomorphe sont limitées à l'addition et à la multiplication. Grâce à ces deux opérations, on peut évaluer n'importe quelle fonction. Mais cela coûtera un temps précieux en termes de temps de calculs ce qui rend les solutions proposées non applicable dans la vie réelle. Pour cela, il est souvent nécessaire de trouver des alternatives à ces opérations. Dans cette section, on s'intéresse dans un premier temps aux opérations qui posent problème dans le cadre de chiffrement homomorphe et les solutions proposées dans la littérature pour effectuer ces opérations. Dans un second temps, on passera en revue les travaux sur le clustering et les solutions utilisées.

3.4.1 Challenges

Le chiffrement homomorphe donne une bonne alternative pour effectuer des calculs sur des données chiffrées. Cependant, il souffre dans certaines opérations qui sont coûteuses en termes de temps de calculs. Malheureusement, pendant le clustering ces opérations sont nécessaires. Dans ce qui suit, nous illustrons les opérations nécessaires pour le clustering et qui posent problème dans le cas de chiffrement homomorphe.

3.4.1.1 La division

L'opération de division est une opération nécessaire pour des algorithmes tels que K-means ou K-medoids pour détecter les nouveaux centres. Plusieurs travaux se sont intéressés à la division dans le chiffrement homomorphe [Kannivelu and Kim, 2021, Babenko and Golimblevskaia, 2021, Yoo and Yoon, 2021]. Ces derniers nécessitent d'effectuer la division au niveau binaire et des méthodes approximatives pour effectuer la division.

3.4.1.2 La comparaison

La comparaison de deux nombres est aussi une opération nécessaire de le clustering. Elle est utilisée principalement pour comparer des distances pendant la phase d'affectation des individus aux clusters. Deux méthodes peuvent être trouvées dans la littérature : comparer des nombres au niveau binaire ou utiliser la soustraction et la fonction signe.

Au niveau binaire, cela revient à reconstruire un circuit logique comparateur, c'est le cas dans les travaux de [Tan et al., 2020]. L'utilisation de la fonction signe est vu dans le cadre de bootstrapping programmable [Minelli, 2018, Zuber, 2020] ont utilisé cette approche.

3.4.1.3 Le tri

Trier un vecteur de distance est opération courante dans le clustering. Il est possible d'avoir des versions chiffrées pour les algorithmes standards de tri tels que : tri par bulles, tri par insertion, tri rapide... Cependant, ces méthodes sont inefficaces et prennent beaucoup de temps. [Çetin et al., 2015] propose deux nouvelles méthodes pour effectuer le tri en utilisant le chiffrement homomorphe : Direct sort et greedy sort.

Les deux algorithmes proposés construisent une matrice de comparaison :

$$\begin{pmatrix} m_{0,0} & m_{0,1} & \cdots & m_{0,n-1} \\ m_{1,0} & m_{1,1} & \cdots & m_{1,n-1} \\ \vdots & \vdots & \ddots & \vdots \\ m_{n-1,0} & m_{n-1,1} & \cdots & m_{n-1,n-1} \end{pmatrix}$$

avec

$$m_{i,j} = \bar{sign}(X_i - X_j) = \begin{cases} 1 & \text{si } X_i < X_j \\ 0 & \text{sinon.} \end{cases}$$

Il est intéressant de savoir que la construction de cette matrice est complètement parallélisable. De plus, la partie inférieure à la diagonale peut être déduite, en effet $m_{j,i} = 1 - m_{i,j}$

- **Direct sort ou tri direct** : Dans direct sort, il est facile de calculer un index de tri en sommant toutes les colonnes de la matrice. La somme d'une colonne est égale au poids de hamming de cette colonne, si cette somme est égale à k cela signifie que le nombre en question est supérieur à k autres valeurs. Cela signifie que son index dans un vecteur trié est égale à k . Il est intéressant d'indiquer que sommer les colonnes est totalement parallélisable.
- **Greedy sort** : Dans greedy sort, on calcule toutes les permutations possibles pour avoir le vecteur trié. Cela revient à effectuer l'opération "ET logique" sur les éléments d'une

colonne et si un élément est supérieur à tous les autres éléments, la valeur de "ET logique" sera égale à 1. Le processus est répété jusqu'à ce que le vecteur en question soit trié tout en éliminant les valeurs déjà calculées.

3.4.2 Travaux existants

Dans le chapitre 1, nous avons vu qu'un d'apprentissage automatique peut être collaboratif ou individuel et dans les deux cas un modèle peut être basé sur un serveur ou assisté par un serveur. Dans le cas de clustering, nous sommes dans la même situation. Trois modèles peuvent être trouvés dans la littérature :

1. Les données proviennent de plusieurs parties et ces dernières collaborent pour entraîner un modèle de clustering.
2. Une seule partie qui détient les données, mais pas les ressources de calculs nécessaires pour effectuer les calculs.
3. Les données proviennent de plusieurs parties et jumeler pour construire une base de données commune.

Le cas 2 et 3 sont similaires, ce cas est dit "outsourced clustering" ou clustering externalisé. Le premier cas est dit "distributed clustering" ou clustering distribué. [Hegde et al., 2021] a identifié huit algorithmes de clustering qui ont été vu dans la cadre préservant la vie privée : K-means, K-medoids, GMM, Meanshift, DBSCAN, baseline agglomerative HC, BIRCH et Affinity Propagation. Mais la majorité de ces travaux s'intéresse à K-means. Dans ce qui suit, on s'intéresse juste aux travaux qui utilisent le chiffrement homomorphe.

3.4.2.1 Clustering collaboratif

Dans le cas d'un clustering collaboratif, plusieurs parties possèdent des données et veulent collaborer pour avoir un clustering plus satisfaisant, et cela, sans divulguer les informations contenues dans les données. Ce cas a été beaucoup étudié dans le cadre ayant deux parties.

[Liu et al., 2015] s'intéresse au cas où deux parties avec des ressources de calculs limités souhaiteraient exécuter K-means en externalisant les calculs sur le cloud. Les deux parties auront un résultat basé sur les deux jeux de données. Dans ce cas, les données d'une partie doivent rester confidentielles par rapport au cloud et par rapport à l'autre partie. Pour proposer une solution, les auteurs se sont basés sur deux schémas de chiffrement : le chiffrement de Liu et le chiffrement de pallier. Chaque partie, chiffre les données et les envoient sur le cloud. Le cloud effectue les calculs et les comparaisons en se basant sur des informations complémentaires de la part des deux parties. Pour recalculer les centres, le cloud envoie la somme de tous les vecteurs vers les deux parties et ces dernières utilisent un protocole pour calculer les nouveaux centres.

[Xing et al., 2017] propose un algorithme k-means distribué qui est composé de deux algo-

rithmes préservant la vie privée appelés à chaque itération. Le premier est utilisé par chaque participant pour trouver le cluster le plus proche sachant que les centres de cluster sont chiffrés et le deuxième est utilisé pour calculer les nouveaux centres de cluster sans fuite d'informations.

[Jiang et al., 2020] propose un protocole pour effectuer un k-means sécurisé dans le modèle semi-honnête. Dans ces travaux, le schéma de Pallier a été utilisé. Le calcul de la distance euclidienne nécessite une interaction avec le propriétaire des données pour effectuer les multiplications. La comparaison est effectuée en utilisant un chiffrement bit par bit.

D'autres travaux se sont intéressé à un clustering basé sur la densité en utilisant l'algorithme DBSCAN.

[Rahman et al., 2017] s'intéresse à un cas multipartite. Les parties chiffrent les données et les externalisent sur le cloud. Dans le cas, le cloud choisit un point et calcule sa distance par rapport à tous les autres points puis il compare les distances avec un seuil de densité. La comparaison donne un résultat chiffré qui ne peut pas être déchiffré par le cloud. Pour résoudre ce problème, une interaction avec les parties est nécessaire.

[Spathoulas et al., 2021] a étudié le clustering en utilisant l'algorithme k-medoids appliqué à la détection d'intrusion. Plusieurs organisations collaborent pour effectuer un clustering et avoir de meilleurs résultats sans que le contenu de ces informations ne soit partagé en clair. Le système repose sur une partie semi-honnête pour effectuer le clustering en utilisant le chiffrement de Pallier. L'algorithme k-medoid nécessite des opérations plus compliquées que l'addition. Cela nécessite des interactions entre les collaborateurs pour déchiffrer ces données au cours de l'exécution et ainsi effectuer les opérations.

Algo	Travaux	Schéma	Données	Précision	Complexité	Sécurité
K-Means	[Liu et al., 2015]	Liu Pallier	-	-	$O(n * m * t)$	Non
K-Means	[Xing et al., 2017]	proposé	Human location health	>98%	-	S/H
K-Means	[Jiang et al., 2020]	Pallier	simulé	-	$O(n * m * t)$	S/H
DBSCAN	[Rahman et al., 2017]	Schémas FHE	-	-	linéaire	S/H
K-medoids	[Spathoulas et al., 2021]	Pallier	ISCX 2012	-	-	S/H

TABLE 3.2 – Résultat des travaux sur le clustering collaboratif

3.4.2.2 Clustering individuel

Un clustering est individuel si une seule personne possède des données et elle veut avoir les résultats de clustering de ces données. La plupart des travaux qui se sont intéressés à ce type de clustering nécessite une étape de déchiffrement intermédiaire.

La plupart des travaux se sont intéressé à K-means.

[Theodouli et al., 2017] présente une solution pour effectuer un K-means en utilisant une collaboration entre le client et un serveur. Ils ont utilisé le schéma BV [Brakerski et al., 2012]. Dans ces travaux, ils ont proposé trois variantes de solutions. Chaque solution prend comme entrée un jeu de données de dimension $n \times d$, un entier k et un seuil d'itérations, l'algorithme retourne une matrice de dimension $k \times d$ qui indique les centres des clusters. Dans la première variante, le calcul des centres s'effectue au niveau de client, cela implique que le client effectue beaucoup de calcul (seules les distances sont calculées au niveau de serveur). La deuxième variante, le client effectue les comparaisons et la division alors que le serveur effectue le calcul des distances et l'affectation des points puis la somme pour calculer les nouveaux centres. Cette variante induit une fuite d'information sur la façon par laquelle les points sont distribués sur les clusters. Une 3e variante essaie de résoudre le problème de fuite d'informations en retournant un vecteur d'affectation chiffré d'un point au lieu de l'affectation en clair.

[Almutairi et al., 2017] propose une méthode pour k-means qui limite l'interaction avec le propriétaire des données en utilisant le concept de "Updatable Distance Matrix (UDM)". Cette dernière est une matrice 3D avec les deux premières dimensions sont égales aux nombres de données dans le jeu de données et la 3e est égale au nombre d'attributs. Chaque cellule dans la matrice est initialisée à la différence entre les attributs des vecteurs de données. L'idée est de sauvegarder les données chiffrées et la matrice UDM dans une tierce partie. Cette matrice est mise à jour à chaque itération de k-means en utilisant une matrice de décalage obtenu en calculant la différence entre les nouveaux centres et les centres actuels. Cette méthode est coûteuse en termes de temps et de mémoire pour stocker la matrice UDM.

[Jäschke et al., 2018] a essayé une implémentation exacte de k-means qui ne nécessite aucun déchiffrement intermédiaire. La méthode repose sur la construction d'un circuit logique pour effectuer le k-means en utilisant TFHE. La méthode, d'un point de vue théorique, donne des résultats équivalents à la version en clair. Cependant, dans la pratique, cette méthode n'est pas réalisable. En effet, avec 2 dimensions et 400 points, le temps d'exécution a été estimé à 25 jours.

[Sakellariou et al., 2019] propose aussi une solution qui s'intéresse à K-means. Dans cette solution le schéma BGV [Brakerski et al., 2012] est utilisé. Les auteurs font la remarque que déchiffrer les étapes intermédiaires au niveau du client est une opération coûteuse. La solution proposée repose sur l'utilisation d'une troisième partie de confiance qui peut décrypter les résultats intermédiaires. Une clé privée équivalente (mais différente) à celle de propriétaire et une matrice de commutation sont générés pour être utilisé par le serveur de confiance. La

solution proposée est considérée comme sûre dans un modèle semi-honnête, mais pas dans le cas malicieux.

Algo	Travaux	Schéma	Précision	Temps	Sécurité
K-Means	[Theodouli et al., 2017]	BGV	-	> 1000s	S/H
K-Means	[Almutairi et al., 2017]	Liu	>98%	< 1s	Non
K-Means	[Jäschke et al., 2018]	TFHE	-	> 1 jour	Oui
k-means	[Sakellariou et al., 2019]	BGV	-	> 300s	S/H

TABLE 3.3 – Résultat des travaux sur le clustering individuel

3.5 Analyse des travaux existants

La majorité des travaux s'intéresse principalement à k-means. Cela est dû au fait que cet algorithme est simple à comprendre et facile à mettre en œuvre. Cependant, il s'agit d'un algorithme complexe en termes de temps d'exécution.

D'un point de vue d'efficacité, la plupart des travaux donnent des résultats presque similaires aux algorithmes standard de clustering. Les travaux utilisant des schémas sur des données entières (cas de BGV) tels que [Almutairi et al., 2017] ont tendance à avoir des précisions moins que l'algorithme standard. Cela est justifiable par rapport à la perte de précision pendant le prétraitement des données.

D'un point de vue de rendement, les temps de calculs sont très grands dans un domaine chiffré. Les solutions qui utilisent les schémas se basant sur les circuits logiques ont tendance à avoir des temps de calculs non pratique dans la vie réelle (par exemple [Jäschke et al., 2018]). Pour résoudre ce problème, des solutions mise sur la communication et l'utilisation des parties de confiance pour éviter les opérations très coûteuse en termes de temps. Ce cas est fréquent dans le cas de clustering collaboratif. Il est aussi utilisé dans le cas de clustering individuel en communiquant des données au propriétaire des données [Almutairi et al., 2017]. Faire des calculs au niveau de propriétaire est envisageable si ce dernier ne manque pas de ressources de calculs. Cependant, si ce n'est pas le cas, il est nécessaire de trouver d'autres options telles que l'utilisation d'un serveur de confiance comme dans [Sakellariou et al., 2019].

D'un point de vue de sécurité, la plupart des travaux sont considéré comme sûre dans le modèle semi-honnête, mais pas dans le modèle malicieux. Les travaux basés sur le schéma de Liu (comme [Liu et al., 2015]) sont considéré comme non sûrs, en effet, ce schéma a été cassé [Wang, 2015]. Malgré que certains travaux sont considérés sûres dans le modèle semi-honnête, des fuites d'informations existent au sein de ces solutions. Les fuites d'informations existantes sont relativement lié aux solutions proposées et non pas aux schémas de chiffrement utilisé. Selon le but de clustering, ces fuites peuvent être acceptées, mais dans d'autres cas ces fuites

mettent en cause toute la solution.

On remarque qu'un bon compromis est nécessaire pour avoir une solution praticable. En effet, les solutions qui négligent la communication entre les parties ont tendance à avoir des temps d'exécution plus grands. Les solutions qui mise sur la communication délèguent plus de calculs vers les clients et cela n'est pas pratique si le client ne possède pas les ressources de calculs. D'un autre côté, elles surchargent le réseau. Un autre point considéré est la sécurité des solutions. Les solutions les plus sûres ne sont pas efficace en termes de rendement.

La plupart des travaux sont étudié dans un cadre général. Pour cela les jeux de données ne sont pas le premier souci des chercheurs. L'utilisation des jeux de données simulée ou des jeux de données classique sont une pratique vu dans la plupart des travaux. La recherche appliquée à un domaine (cas [Spathoulas et al., 2021])offre aussi une piste intéressante pour avoir des solutions adaptée à un domaine particulier. Les solutions sont plus efficaces dans le sens où les contraintes d'application sont connus. La tolérance ou la non-tolérance des fuites d'informations sont plus facile dans ce cas. Ainsi, les solutions sont plus pratiques que dans le cas général.

3.6 Conclusion

À travers ce chapitre, nous avons remarqué que le chiffrement homomorphe offre bel et bien une solution pour la vie privée dans le cadre de clustering. Cependant, le chiffrement homomorphe a encore un chemin à parcourir avant d'être plus pratique pour la plupart des utilisateurs. Bien qu'il ait parcouru un grand chemin pendant les dernières années, les temps d'exécutions restent encore très lents par rapport aux versions en clair. De plus, il n'existe pas de standards pour les implémentations de ce chiffrement (Bien que le projet de standardisation est en cours).

Les défis dans le clustering sont connus. La division, les comparaisons et les tris sont les principaux point bloquant dans le cas de clustering. Les travaux se sont axé principalement sur les façons pour éviter ces opérations dans un domaine chiffré ou pour trouver des solutions alternatives pour effectuer ces opérations à moindre coût. Bien que plusieurs travaux ont vu le jour, les solutions reste moins pratique dans la réalité. Les travaux de côté de chiffrement homomorphe cherchent à avoir des temps d'exécution plus raisonnable et de leur côté les chercheurs en apprentissage automatique cherchent à trouver des opérations et des protocoles moins couteux et qui sont équivalents aux opérations standards.

Conclusion Générale

Le potentiel des données ne cesse d'impressionner le monde de jour en jour. L'apparition de l'internet des objets n'a fait que multiplier les taux de données générés chaque jour. De nouveaux défis apparaissent, les besoins de stockage et de la puissance de calculs étaient dans un premier temps les principaux défis pour exploiter le potentiel de ces données. Bien que le cloud computing et l'apprentissage automatique ont offert une solution pour ce défi, la réalité de terrain a fait face à ces deux concepts. D'une part, les données sont souvent incomplètes pour diverses raisons. D'autre part, les données sont traitées de manière non sécurisée dans le cloud. Le cœur de notre sujet est d'étudier les méthodes de clustering dans un contexte qui fait face à ces deux problèmes cités. Ce mémoire a traité les deux défis à la fois.

Bien que chaque problème a été étudié dans le contexte clustering, à la limite de nos efforts, il n'existait pas de travaux qui ont combiné le problème de données manquantes et le problème de sécurité avec le clusting. Cela nous a mené à étudier les problématiques une à une. Dans un premier temps, nous avons étudié le clustering pour avoir le maximum d'informations sur notre sujet. Ensuite, il a été étudié dans le contexte des données manquantes tout en étudiant les formes d'absences qui puissent exister en réalité. Les travaux recensés dans la littérature essayaient principalement d'adapter les problèmes d'optimisation sous-jacents aux algorithmes de clustering pour prendre en compte les données manquantes.

Dans un second temps, nous nous sommes intéressé au problème de clustering avec le chiffrement homomorphe. Nous avons jugé qu'il est nécessaire d'avoir une vision large sur le sujet en étudiant le problème de la vie privée dans l'apprentissage automatique. Puis nous nous sommes restreint au problème de clustering en utilisant le chiffrement homomorphe. Plusieurs travaux ont étudié ce problème que ça soit dans le cas distribué ou dans un cas non distribué. Chaque solution peut avoir une application différente selon le contexte et les objectifs derrière son utilisation. Cependant, durant nos études, on a remarqué que l'algorithme des k-moyennes était le plus présent dans la littérature. Les défis principaux rencontrés dans le clustering en utilisant le chiffrement homomorphe sont la division, la comparaison et le tri. Les travaux essayaient donc d'avoir des alternatives à ces opérations ou bien à les éviter carrément en utilisant des protocoles de communications. Les solutions sont ensuite évaluées sur trois volets : l'efficacité, le rendement et la sécurité.

Bibliographie

- [Abadi et al., 2016] Abadi, M., Chu, A., Goodfellow, I., McMahan, H. B., Mironov, I., Talwar, K., and Zhang, L. (2016). Deep learning with differential privacy. In *Proceedings of the 2016 ACM SIGSAC conference on computer and communications security*, pages 308–318.
- [Acar et al., 2017] Acar, A., Aksu, H., Uluagac, S., and Conti, M. (2017). A survey on homomorphic encryption schemes : Theory and implementation. *ACM Computing Surveys*, 51.
- [Al-Rubaie and Chang, 2019] Al-Rubaie, M. and Chang, J. M. (2019). Privacy-preserving machine learning : Threats and solutions. *IEEE Security & Privacy*, 17(2) :49–58.
- [Alaya et al., 2020] Alaya, B., Laouamer, L., and Msilini, N. (2020). Homomorphic encryption systems statement : Trends and challenges. *Computer Science Review*, 36 :100235.
- [Alharbi et al., 2020] Alharbi, A., Zamzami, H., and Samkri, E. (2020). Survey on homomorphic encryption and address of new trend. *International Journal of Advanced Computer Science and Applications*, 11(7).
- [Almutairi et al., 2017] Almutairi, N., Coenen, F., and Dures, K. (2017). K-means clustering using homomorphic encryption and an updatable distance matrix : secure third party data clustering with limited data owner interaction. In *International Conference on Big Data Analytics and Knowledge Discovery*, pages 274–285. Springer.
- [Alzubi et al., 2018] Alzubi, J., Nayyar, A., and Kumar, A. (2018). Machine learning from theory to algorithms : an overview. In *Journal of physics : conference series*, volume 1142, page 012012. IOP Publishing.
- [Anggriane et al., 2016] Anggriane, S. M., Nasution, S. M., and Azmi, F. (2016). Advanced e-voting system using paillier homomorphic encryption algorithm. In *2016 International Conference on Informatics and Computing (ICIC)*, pages 338–342. IEEE.
- [Aries, 2018] Aries, A. (2018). Introduction à l'apprentissage automatique. https://projeduc.github.io/intro_apprentissage_automatique/introduction.html, dernier accès : 2020-12-20.
- [Audigier et al., 2021] Audigier, V., Niang, N., and Resche-Rigon, M. (2021). Clustering with missing data : which imputation model for which cluster analysis method ? *arXiv preprint arXiv :2106.04424*.

- [Aziz et al., 2018] Aziz, A., Qunoo, H., and Abusamra, A. (2018). Using homomorphic cryptographic solutions on e-voting systems. *International Journal of Computer Network and Information Security*, 10 :44–59.
- [Babenko and Golimblevskaia, 2021] Babenko, M. and Golimblevskaia, E. (2021). Euclidean division method for the homomorphic scheme ckks. In *2021 IEEE Conference of Russian Young Researchers in Electrical and Electronic Engineering (ElConRus)*, pages 217–220. IEEE.
- [Benaissa et al., 2021] Benaissa, A., Retiat, B., Cebere, B., and Belfedhal, A. E. (2021). Tenseal : A library for encrypted tensor operations using homomorphic encryption.
- [Benaloh, 1994] Benaloh, J. (1994). Dense probabilistic encryption. In *Proceedings of the workshop on selected areas of cryptography*, pages 120–128.
- [Black, 2014] Black, N. D. (2014). *Homomorphic encryption and the approximate gcd problem*. PhD thesis, Clemson University.
- [Boluki et al., 2019] Boluki, S., Dadaneh, S. Z., Qian, X., and Dougherty, E. R. (2019). Optimal clustering with missing values. *BMC bioinformatics*, 20(12) :1–10.
- [Boneh et al., 2005] Boneh, D., Goh, E.-J., and Nissim, K. (2005). Evaluating 2-dnf formulas on ciphertexts. In Kilian, J., editor, *Theory of Cryptography*, pages 325–341, Berlin, Heidelberg. Springer Berlin Heidelberg.
- [Bonte et al., 2018] Bonte, C., Makri, E., Ardesthirdavani, A., Simm, J., Moreau, Y., and Vercauteren, F. (2018). Towards practical privacy-preserving genome-wide association study. *BMC bioinformatics*, 19(1) :1–12.
- [Bonte and Vercauteren, 2018] Bonte, C. and Vercauteren, F. (2018). Privacy-preserving logistic regression training. *BMC medical genomics*, 11(4) :13–21.
- [Bost et al., 2014] Bost, R., Popa, R. A., Tu, S., and Goldwasser, S. (2014). Machine learning classification over encrypted data. *Cryptology ePrint Archive*.
- [Boulemtafes et al., 2020] Boulemtafes, A., Derhab, A., and Challal, Y. (2020). A review of privacy-preserving techniques for deep learning. *Neurocomputing*, 384 :21–45.
- [Brakerski et al., 2012] Brakerski, Z., Gentry, C., and Vaikuntanathan, V. (2012). (leveled) fully homomorphic encryption without bootstrapping. In *Proceedings of the 3rd Innovations in Theoretical Computer Science Conference*, ITCS ’12, page 309–325, New York, NY, USA. Association for Computing Machinery.
- [Brakerski and Vaikuntanathan, 2011] Brakerski, Z. and Vaikuntanathan, V. (2011). Fully homomorphic encryption from ring-lwe and security for key dependent messages. In *Annual cryptology conference*, pages 505–524. Springer.
- [Cabrero-Holgueras and Pastrana, 2021] Cabrero-Holgueras, J. and Pastrana, S. (2021). Sok : Privacy-preserving computation techniques for deep learning. *Proceedings on Privacy Enhancing Technologies*, 2021(4) :139–162.
- [Carpov et al., 2019] Carpor, S., Gama, N., Georgieva, M., and Troncoso-Pastoriza, J. R. (2019). Privacy-preserving semi-parallel logistic regression training with fully homomorphic encryption. *Cryptology ePrint Archive*, Report 2019/101. <https://ia.cr/2019/101>.

- [Çetin et al., 2015] Çetin, G. S., Doröz, Y., Sunar, B., and Savaş, E. (2015). Depth optimized efficient homomorphic sorting. In *International Conference on Cryptology and Information Security in Latin America*, pages 61–80. Springer.
- [Chabanne et al., 2017] Chabanne, H., De Wargny, A., Milgram, J., Morel, C., and Prouff, E. (2017). Privacy-preserving classification on deep neural network. *Cryptology ePrint Archive*.
- [Cheon et al., 2017] Cheon, J. H., Kim, A., Kim, M., and Song, Y. (2017). Homomorphic encryption for arithmetic of approximate numbers. In *International Conference on the Theory and Application of Cryptology and Information Security*, pages 409–437. Springer.
- [Chi et al., 2016] Chi, J. T., Chi, E. C., and Baraniuk, R. G. (2016). k-pod : A method for k-means clustering of missing data. *The American Statistician*, 70(1) :91–99.
- [Chillotti et al., 2016] Chillotti, I., Gama, N., Georgieva, M., and Izabachene, M. (2016). Faster fully homomorphic encryption : Bootstrapping in less than 0.1 seconds. In *international conference on the theory and application of cryptology and information security*, pages 3–33. Springer.
- [Chillotti et al., 2020] Chillotti, I., Joye, M., Ligier, D., Orfila, J.-B., and Tap, S. (2020). Concrete : Concrete operates on ciphertexts rapidly by extending tfhe. In *WAHC 2020–8th Workshop on Encrypted Computing & Applied Homomorphic Cryptography*, volume 15.
- [Chillotti et al., 2021] Chillotti, I., Joye, M., and Paillier, P. (2021). Programmable bootstrapping enables efficient homomorphic inference of deep neural networks. *IACR Cryptol. ePrint Arch.*, 2021 :91.
- [Dathathri et al., 2020] Dathathri, R., Kostova, B., Saarikivi, O., Dai, W., Laine, K., and Musuvathi, M. (2020). Eva : an encrypted vector arithmetic language and compiler for efficient homomorphic computation. *Proceedings of the 41st ACM SIGPLAN Conference on Programming Language Design and Implementation*.
- [Datta et al., 2018] Datta, S., Bhattacharjee, S., and Das, S. (2018). Clustering with missing features : a penalized dissimilarity measure based approach. *Machine Learning*, 107(12) :1987–2025.
- [Dinh et al., 2021] Dinh, D.-T., Huynh, V.-N., and Sriboonchitta, S. (2021). Clustering mixed numerical and categorical data with missing values. *Information Sciences*, 571 :418–442.
- [Ducas and Micciancio, 2014] Ducas, L. and Micciancio, D. (2014). Fhew : Bootstrapping homomorphic encryption in less than a second. *Cryptology ePrint Archive*, Report 2014/816. <https://ia.cr/2014/816>.
- [Ducas and Micciancio, 2015] Ducas, L. and Micciancio, D. (2015). Fhew : bootstrapping homomorphic encryption in less than a second. In *Annual International Conference on the Theory and Applications of Cryptographic Techniques*, pages 617–640. Springer.
- [ElGamal, 1985] ElGamal, T. (1985). A public key cryptosystem and a signature scheme based on discrete logarithms. In Blakley, G. R. and Chaum, D., editors, *Advances in Cryptology*, pages 10–18, Berlin, Heidelberg. Springer Berlin Heidelberg.

- [Erkin et al., 2009] Erkin, Z., Veugen, T., Toft, T., and Lagendijk, R. L. (2009). Privacy-preserving user clustering in a social network. In *2009 First IEEE International Workshop on Information Forensics and Security (WIFS)*, pages 96–100. IEEE.
- [Fan and Vercauteren, 2012] Fan, J. and Vercauteren, F. (2012). Somewhat practical fully homomorphic encryption. *IACR Cryptol. ePrint Arch.*, 2012 :144.
- [Feron, 2018] Feron, C. (2018). *PAnTHERS : un outil d'aide pour l'analyse et l'exploration d'algorithmes de chiffrement homomorphe*. Theses, ENSTA Bretagne - École nationale supérieure de techniques avancées Bretagne.
- [Fontaine and Fabien, 2007] Fontaine, C. and Fabien, G. (2007). A survey of homomorphic encryption for nonspecialists. *EURASIP Journal on Information Security*, 2007.
- [Fredrikson et al., 2014] Fredrikson, M., Lantz, E., Jha, S., Lin, S., Page, D., and Ristenpart, T. (2014). Privacy in pharmacogenetics : An end-to-end case study of personalized warfarin dosing. In *23rd {USENIX} Security Symposium ({USENIX} Security 14)*, pages 17–32.
- [Gan et al., 2007] Gan, G., Ma, C., and Wu, J. (2007). *Data clustering : theory, algorithms, and applications*. SIAM.
- [Geng et al., 2019] Geng, Y. et al. (2019). Homomorphic encryption technology for cloud computing. *Procedia Computer Science*, 154 :73–83.
- [Gentry et al., 2012] Gentry, C., Halevi, S., and Smart, N. P. (2012). Homomorphic evaluation of the aes circuit. *Cryptology ePrint Archive*, Report 2012/099. <https://ia.cr/2012/099>.
- [Gentry et al., 2013] Gentry, C., Sahai, A., and Waters, B. (2013). Homomorphic encryption from learning with errors : Conceptually-simpler, asymptotically-faster, attribute-based. In *Annual Cryptology Conference*, pages 75–92. Springer.
- [Ghosal et al., 2020] Ghosal, A., Nandy, A., Das, A. K., Goswami, S., and Panday, M. (2020). A short review on different clustering techniques and their applications. In Mandal, J. K. and Bhattacharya, D., editors, *Emerging Technology in Modelling and Graphics*, pages 69–83, Singapore. Springer Singapore.
- [Gilad-Bachrach et al., 2016] Gilad-Bachrach, R., Dowlin, N., Laine, K., Lauter, K., Naehrig, M., and Wernsing, J. (2016). Cryptonets : Applying neural networks to encrypted data with high throughput and accuracy. In *International conference on machine learning*, pages 201–210. PMLR.
- [Goldwasser and Micali, 1982] Goldwasser, S. and Micali, S. (1982). Probabilistic encryption & how to play mental poker keeping secret all partial information. In *STOC '82*.
- [Gorantala et al., 2021] Gorantala, S., Springer, R., Purser-Haskell, S., Lam, W., Wilson, R. J., Ali, A., Astor, E. P., Zukerman, I., Ruth, S., Dibak, C., Schoppmann, P., Kulankhina, S., Forget, A., Marn, D., Tew, C., Misoczki, R., Guillén, B., Ye, X., Kraft, D., Desfontaines, D., Krishnamurthy, A., Guevara, M., Perera, I. M., Sushko, I., and Gipson, B. (2021). A general purpose transpiler for fully homomorphic encryption. *IACR Cryptol. ePrint Arch.*, 2021 :811.

- [Guillot, 2013] Guillot, P. (2013). *La cryptologie : l'art des codes secrets*. Cryptologie. EDP Sciences.
- [Hegde et al., 2021] Hegde, A., Möllering, H., Schneider, T., and Yalame, H. (2021). Sok : Efficient privacy-preserving clustering. PETS.
- [Hodges and Wotring, 2000] Hodges, K. and Wotring, J. (2000). Client typology based on functioning across domains using the cafas : Implications for service planning. *The journal of behavioral health services & research*, 27(3) :257–270.
- [Honda et al., 2011] Honda, K., Nonoguchi, R., Notsu, A., and Ichihashi, H. (2011). Pca-guided k-means clustering with incomplete data. In *2011 IEEE International Conference on Fuzzy Systems (FUZZ-IEEE 2011)*, pages 1710–1714. IEEE.
- [Jäschke et al., 2018] Jäschke et al., Angela, A. F. (2018). Unsupervised machine learning on encrypted data. In *International Conference on Selected Areas in Cryptography*, pages 453–478. Springer.
- [Jiang et al., 2018] Jiang, X., Kim, M., Lauter, K., and Song, Y. (2018). Secure outsourced matrix computation and application to neural networks. In *Proceedings of the 2018 ACM SIGSAC Conference on Computer and Communications Security*, pages 1209–1222.
- [Jiang et al., 2020] Jiang, Z. L., Guo, N., Jin, Y., Lv, J., Wu, Y., Liu, Z., Fang, J., Yiu, S.-M., and Wang, X. (2020). Efficient two-party privacy-preserving collaborative k-means clustering protocol supporting both storage and computation outsourcing. *Information Sciences*, 518 :168–180.
- [Jonathan Katz, 2021] Jonathan Katz, Y. L. (2021). *Introduction To Modern Cryptography*. Chapman & Hall/CRC Cryptography And Network Security. CRC Press/Taylor & Francis Group, 3rd edition edition.
- [Kannivelu and Kim, 2021] Kannivelu, S. D. and Kim, S. (2021). A homomorphic encryption-based adaptive image filter using division over encrypted data. In *2021 IEEE 27th International Conference on Embedded and Real-Time Computing Systems and Applications (RTCSA)*, pages 67–72. IEEE.
- [Khedr et al., 2015] Khedr, A., Gulak, G., and Vaikuntanathan, V. (2015). Shield : scalable homomorphic implementation of encrypted data-classifiers. *IEEE Transactions on Computers*, 65(9) :2848–2858.
- [Kim et al., 2018] Kim, A., Song, Y., Kim, M., Lee, K., and Cheon, J. H. (2018). Logistic regression model training based on the approximate homomorphic encryption. *BMC medical genomics*, 11(4) :23–31.
- [Li et al., 2007] Li, N., Li, T., and Venkatasubramanian, S. (2007). t-closeness : Privacy beyond k-anonymity and l-diversity. In *2007 IEEE 23rd International Conference on Data Engineering*, pages 106–115. IEEE.
- [Li et al., 2018] Li, T., Li, J., Liu, Z., Li, P., and Jia, C. (2018). Differentially private naive bayes learning over multiple data sources. *Information Sciences*, 444 :89–104.

- [Liu et al., 2015] Liu, X., Jiang, Z. L., Yiu, S.-M., Wang, X., Tan, C., Li, Y., Liu, Z., Jin, Y., and Fang, J. (2015). Outsourcing two-party privacy preserving k-means clustering protocol in wireless sensor networks. In *2015 11th International Conference on Mobile Ad-hoc and Sensor Networks (MSN)*, pages 124–133. IEEE.
- [Machanavajjhala et al., 2007] Machanavajjhala, A., Kifer, D., Gehrke, J., and Venkitasubramaniam, M. (2007). l-diversity : Privacy beyond k-anonymity. *ACM Transactions on Knowledge Discovery from Data (TKDD)*, 1(1) :3–es.
- [MacQueen et al., 1967] MacQueen, J. et al. (1967). Some methods for classification and analysis of multivariate observations. In *Proceedings of the fifth Berkeley symposium on mathematical statistics and probability*, volume 1, pages 281–297. Oakland, CA, USA.
- [Marbac et al., 2020] Marbac, M., Sedki, M., and Patin, T. (2020). Variable selection for mixed data clustering : application in human population genomics. *Journal of Classification*, 37(1) :124–142.
- [McDowell et al., 2018] McDowell, I. C., Manandhar, D., Vockley, C. M., Schmid, A. K., Reddy, T. E., and Engelhardt, B. E. (2018). Clustering gene expression time series data using an infinite gaussian process mixture model. *PLoS computational biology*, 14(1) :e1005896.
- [McMahan et al., 2017] McMahan, H. B., Ramage, D., Talwar, K., and Zhang, L. (2017). Learning differentially private recurrent language models. *arXiv preprint arXiv :1710.06963*.
- [Minelli, 2018] Minelli, M. (2018). *Fully homomorphic encryption for machine learning*. PhD thesis, PSL Research University.
- [Mkhinini, 2017] Mkhinini, A. (2017). *Implantation matérielle de chiffrements homomorphiques*. Theses, Université Grenoble Alpes ; Ecole Nationale d'Ingénieurs de Sousse (Tunisie).
- [Nokam Kuaté, 2018] Nokam Kuaté, D. (2018). *Cryptographie homomorphe et transcodage d'image/video dans le domaine chiffré*. PhD thesis, Université Paris-Saclay (ComUE).
- [Okamoto and Uchiyama, 1998] Okamoto, T. and Uchiyama, S. (1998). A new public-key cryptosystem as secure as factoring. In Nyberg, K., editor, *Advances in Cryptology — EUROCRYPT’98*, pages 308–318, Berlin, Heidelberg. Springer Berlin Heidelberg.
- [Paillier, 1999] Paillier, P. (1999). Public-key cryptosystems based on composite degree residuosity classes. In Stern, J., editor, *Advances in Cryptology — EUROCRYPT ’99*, pages 223–238, Berlin, Heidelberg. Springer Berlin Heidelberg.
- [Palacio-Nino et al., 2019] Palacio-Nino, Julio-Omar, and Berzal, F. (2019). Evaluation metrics for unsupervised learning algorithms. *arXiv preprint arXiv :1905.05667*.
- [Park et al., 2020] Park, S., Byun, J., Lee, J., Cheon, J. H., and Lee, J. (2020). He-friendly algorithm for privacy-preserving svm training. *IEEE Access*, 8 :57414–57425.
- [Patel et al., 2015] Patel, S. J., Punjani, D., and Jinwala, D. C. (2015). An efficient approach for privacy preserving distributed clustering in semi-honest model using elliptic curve cryptography. *International Journal of Network Security*, 17(3) :328–339.

- [Pawlicki et al., 2021] Pawlicki, M., Choraś, M., Kozik, R., and Hołubowicz, W. (2021). Missing and incomplete data handling in cybersecurity applications. In *Asian Conference on Intelligent Information and Database Systems*, pages 413–426. Springer.
- [Poddar and Jacob, 2018] Poddar, S. and Jacob, M. (2018). Clustering of data with missing entries. In *2018 IEEE International Conference on Acoustics, Speech and Signal Processing (ICASSP)*, pages 2831–2835. IEEE.
- [Qayyum et al., 2020] Qayyum, A., Qadir, J., Bilal, M., and Al-Fuqaha, A. (2020). Secure and robust machine learning for healthcare : A survey. *IEEE Reviews in Biomedical Engineering*, 14 :156–180.
- [Rahman et al., 2017] Rahman, M. S., Basu, A., and Kiyomoto, S. (2017). Towards outsourced privacy-preserving multiparty dbscan. In *2017 IEEE 22nd Pacific Rim International Symposium on Dependable Computing (PRDC)*, pages 225–226. IEEE.
- [Rivest et al., 1978a] Rivest, R. L., Adleman, L., and Dertouzos, M. L. (1978a). On data banks and privacy homomorphisms. *Foundations of Secure Computation*, Academia Press, pages 169–179.
- [Rivest et al., 1978b] Rivest, R. L., Shamir, A., and Adleman, L. (1978b). A method for obtaining digital signatures and public-key cryptosystems. *Commun. ACM*, 21(2) :120–126.
- [Rubin, 1976] Rubin, D. B. (1976). Inference and missing data. *Biometrika*, 63(3) :581–592.
- [Sakellariou et al., 2019] Sakellariou et al., Georgios, G. A. (2019). Homomorphically encrypted k-means on cloud-hosted servers with low client-side load. *Computing*, 101(12) :1813–1836.
- [Saravanan and Sujatha, 2018] Saravanan, R. and Sujatha, P. (2018). A state of art techniques on machine learning algorithms : a perspective of supervised learning approaches in data classification. In *2018 Second International Conference on Intelligent Computing and Control Systems (ICICCS)*, pages 945–949. IEEE.
- [Senekane, 2019] Senekane, M. (2019). Differentially private image classification using support vector machine and differential privacy. *Machine Learning and Knowledge Extraction*, 1(1) :483–491.
- [Serafini et al., 2020] Serafini, A., Murphy, T. B., and Scrucca, L. (2020). Handling missing data in model-based clustering. *arXiv preprint arXiv :2006.02954*.
- [Shinde et al., 2013] Shinde, S. S., Shukla, S., and Chitre, D. (2013). Secure e-voting using homomorphic technology. *International Journal of Emerging Technology and Advanced Engineering*, 3(8) :203–206.
- [Shokri et al., 2017] Shokri, R., Stronati, M., Song, C., and Shmatikov, V. (2017). Membership inference attacks against machine learning models. In *2017 IEEE Symposium on Security and Privacy (SP)*, pages 3–18. IEEE.
- [Sirajudeen and Anitha, 2018] Sirajudeen, Y. M. and Anitha, R. (2018). Survey on homomorphic encryption. In *Proceedings of the International Conference for Phoenixes on Emerging Current Trends in Engineering and Management (PECTEAM 2018)*, pages 70–74. Atlantis Press.

- [Smart and Vercauteren, 2011] Smart, N. and Vercauteren, F. (2011). Fully homomorphic simd operations. Cryptology ePrint Archive, Report 2011/133. <https://ia.cr/2011/133>.
- [Spathoulas et al., 2021] Spathoulas, G., Theodoridis, G., and Damiris, G.-P. (2021). Using homomorphic encryption for privacy-preserving clustering of intrusion detection alerts. *International Journal of Information Security*, 20(3) :347–370.
- [Sun et al., 2018] Sun, X., Zhang, P., Liu, J. K., Yu, J., and Xie, W. (2018). Private machine learning classification based on fully homomorphic encryption. *IEEE Transactions on Emerging Topics in Computing*, 8(2) :352–364.
- [Sweeney, 2002] Sweeney, L. (2002). k-anonymity : A model for protecting privacy. *International Journal of Uncertainty, Fuzziness and Knowledge-Based Systems*, 10(05) :557–570.
- [Tai et al., 2017] Tai, R. K., Ma, J. P., Zhao, Y., and Chow, S. S. (2017). Privacy-preserving decision trees evaluation via linear functions. In *European Symposium on Research in Computer Security*, pages 494–512. Springer.
- [Tan et al., 2020] Tan, B. H. M., Lee, H. T., Wang, H., Ren, S. Q., and Khin, A. M. M. (2020). Efficient private comparison queries over encrypted databases using fully homomorphic encryption with finite fields. *IEEE Transactions on Dependable and Secure Computing*.
- [Theodouli et al., 2017] Theodouli, A., Draziotis, K. A., and Gounaris, A. (2017). Implementing private k-means clustering using a lwe-based cryptosystem. In *2017 IEEE Symposium on Computers and Communications (ISCC)*, pages 88–93. IEEE.
- [Thuraisingham et al., 2011] Thuraisingham, B., Khadilkar, V., Gupta, A., Kantarciooglu, M., and Khan, L. (2011). Secure data storage and retrieval in the cloud. IEEE.
- [Tiwari et al., 2021] Tiwari, K., Shukla, S., and George, J. P. (2021). A systematic review of challenges and techniques of privacy-preserving machine learning. In Shukla, S., Unal, A., Varghese Kureethara, J., Mishra, D. K., and Han, D. S., editors, *Data Science and Security*, pages 19–41, Singapore. Springer Singapore.
- [Torkzadehmahani et al., 2020] Torkzadehmahani, R., Nasirigerdeh, R., Blumenthal, D. B., Kacprowski, T., List, M., Matschinske, J., Späth, J., Wenke, N. K., Bihari, B., Frisch, T., et al. (2020). Privacy-preserving artificial intelligence techniques in biomedicine. *arXiv preprint arXiv :2007.11621*.
- [van Dijk et al., 2010] van Dijk, M., Gentry, C., Halevi, S., and Vaikuntanathan, V. (2010). Fully homomorphic encryption over the integers. In Gilbert, H., editor, *Advances in Cryptology – EUROCRYPT 2010*, pages 24–43, Berlin, Heidelberg. Springer Berlin Heidelberg.
- [Vankudoth and Vasumathi, 2017] Vankudoth, B. and Vasumathi, D. (2017). Homomorphic encryption techniques for securing data in cloud computing : A survey. *International Journal of Computer Applications*, 160 :1–5.
- [Vemuri, 2020] Vemuri, V. K. (2020). The hundred-page machine learning book : by andriy burkov, quebec city, canada, 2019, 160 pp., 49.99(hardcover); 29.00 (paperback); 25.43(kindleedition),(alternatively,canpurchaseatleanpub.comataminimumpriceof 20.00), isbn 978-1999579517.

- [Wagstaff and Laidler, 2005] Wagstaff, K. L. and Laidler, V. G. (2005). Making the most of missing values : Object clustering with partial data in astronomy. In *Astronomical Data Analysis Software and Systems XIV*, volume 347, page 172.
- [Wang et al., 2019] Wang, S., Li, M., Hu, N., Zhu, E., Hu, J., Liu, X., and Yin, J. (2019). K-means clustering with incomplete data. *IEEE Access*, 7 :69162–69171.
- [Wang, 2015] Wang, Y. (2015). Notes on two fully homomorphic encryption schemes without bootstrapping. *IACR Cryptol. ePrint Arch.*, 2015 :519.
- [Wilson, 2015] Wilson, S. E. (2015). Methods for clustering data with missing values. *url : https://www.math.leidenuniv.nl/scripties/MasterWilson.pdf (visited on 11/02/2016)*.
- [Wood et al., 2020] Wood, A., Najarian, K., and Kahrobaei, D. (2020). Homomorphic encryption for machine learning in medicine and bioinformatics. *ACM Comput. Surv.*, 53(4).
- [Wood et al., 2019] Wood, A., Shpilrain, V., Najarian, K., and Kahrobaei, D. (2019). Private naive bayes classification of personal biomedical data : Application in cancer data analysis. *Computers in biology and medicine*, 105 :144–150.
- [Xing et al., 2017] Xing, K., Hu, C., Yu, J., Cheng, X., and Zhang, F. (2017). Mutual privacy preserving k -means clustering in social participatory sensing. *IEEE Transactions on Industrial Informatics*, 13(4) :2066–2076.
- [Xu, 2020] Xu, R. (2020). *Functional encryption based approaches for practical privacy-preserving machine learning*. PhD thesis, University of Pittsburgh.
- [Xu et al., 2021] Xu, R., Baracaldo, N., and Joshi, J. (2021). Privacy-preserving machine learning : Methods, challenges and directions.
- [Xu et al., 2019] Xu, R., Joshi, J. B., and Li, C. (2019). Cryptonn : Training neural networks over encrypted data. In *2019 IEEE 39th International Conference on Distributed Computing Systems (ICDCS)*, pages 1199–1209. IEEE.
- [Yoo and Yoon, 2021] Yoo, J. S. and Yoon, J. W. (2021). t-bmpnet : Trainable bitwise multilayer perceptron neural network over fully homomorphic encryption scheme. *Security and Communication Networks*, 2021.
- [Zhang et al., 2015] Zhang, Q., Yang, L. T., and Chen, Z. (2015). Privacy preserving deep computation model on cloud for big data feature learning. *IEEE Transactions on Computers*, 65(5) :1351–1362.
- [Zuber, 2020] Zuber, M. (2020). *Contributions to data confidentiality in machine learning by means of homomorphic encryption*. PhD thesis. Thèse de doctorat dirigée par Sirdey, Renaud Mathématiques et Informatique université Paris-Saclay 2020.
- [Zuber and Sirdey, 2021] Zuber, M. and Sirdey, R. (2021). Efficient homomorphic evaluation of k-nn classifiers. *Proc. Priv. Enhancing Technol.*, 2021(2) :111–129.